

การหลอมโลหะโดยอาศัยการเหนี่ยวนำ

INDUCTION HEATING



ปริญญานิพนธ์ฉบับนี้ เป็นส่วนหนึ่งของการศึกษาตามหลักสูตรปริญญาวิศวกรรมศาสตรบัณฑิต

สาขาวิศวกรรมอิเล็กทรอนิกส์

สถาบันเทคโนโลยีพระจอมเกล้าเจ้าคุณทหารลาดกระบัง

ปีการศึกษา 2536

เอกสารนี้เป็นเอกสารที่สงวนไว้สำหรับการใช้งานเพื่อการศึกษาเท่านั้น ไม่อนุญาตให้นำไปใช้ประโยชน์ด้านการค้า
ไม่ว่ากรณีใดๆทั้งสิ้น อีกทั้งห้ามมิให้ดัดแปลงเนื้อหา และต้องอ้างอิงถึงเจ้าของเอกสารทุกครั้ง 033252

ปริญญานิพนธ์ปีการศึกษา 2536

ภาควิชาอิเล็กทรอนิกส์

คณะวิศวกรรมศาสตร์

สถาบันเทคโนโลยีพระจอมเกล้าเจ้าคุณทหารลาดกระบัง

เรื่อง การหลอมโลหะโดยอาศัยการเหนี่ยวนำ (INDUCTION HEATING)

ผู้จัดทำ

1. นาย กรกฏ เหมสถาปัตยกรรม 33100005

2. นาย เกียรติกร เหมมนตรี 33100032

(อ. สมศักดิ์ เขียวศิริกุล)

อาจารย์ที่ปรึกษา

เอกสารนี้เป็นเอกสารที่สงวนไว้สำหรับการใช้งานเพื่อการศึกษาเท่านั้น ไม่อนุญาตให้นำไปใช้ประโยชน์ด้านการค้า
ไม่ว่ากรณีใดๆทั้งสิ้น อีกทั้งห้ามมิให้ดัดแปลงเนื้อหา และต้องอ้างอิงถึงเจ้าของเอกสารทุกครั้งที่มีการนำไปใช้

การหลอมโลหะโดยอาศัยการเหนี่ยวนำ

(INDUCTION HEATING)

โดย นาย กรกฎ เหมสถาปัตย์ รหัส 33100005

นาย เกียรติกร เริ่มมนตรี รหัส 33100032

อาจารย์ที่ปรึกษา อ. สมศักดิ์ เข็ญศิริกุล

บทคัดย่อ

ในวิทยานิพนธ์ฉบับนี้ ได้เริ่มพัฒนาการหลอมแบบเหนี่ยวนำด้วยความร้อนที่ความถี่เรโซแนนซ์ เพื่อใช้สำหรับชุบผิวโลหะแข็ง ความถี่ของสวิตซิ่งวงจรนี้ ได้มาจากความถี่โดยประมาณ ซึ่งอาศัยจากค่าที่ระบุแล้วจากพาสพอร์ตอันเนลิ่งซึ่งมาจากเว็บเพจเรโซแนนซ์ระบบเหนี่ยวนำความร้อนที่ศูนย์วิจัยแม่เหล็กของจุฬาลงกรณ์มหาวิทยาลัย ใช้ขนาดที่เปลี่ยนแปลงไปมาได้

Abstract

In this thesis is develop of surface hardening by induction heating at resonance frequency. Operating frequency of the MOSFET is controlled such that an effective value of output current of the MOSFET is kept maximum after predicting an approximate resonance frequency. This MOSFET is operative even when the resonance frequency changes extensively.

เอกสารนี้เป็นเอกสารที่สงวนไว้สำหรับการใช้งานเพื่อการศึกษาเท่านั้น ไม่อนุญาตให้นำไปใช้ประโยชน์ด้านการค้า
ไม่ว่ากรณีใดๆทั้งสิ้น อีกทั้งห้ามมิให้ดัดแปลงเนื้อหา และต้องอ้างอิงถึงเจ้าของเอกสารทุกครั้งที่มีการนำไปใช้

สารบัญ

บทนำ

บทที่ 1 ทฤษฎีแม่เหล็กไฟฟ้าที่เหนี่ยวนำให้เกิดความร้อน

บทที่ 2 โครงสร้างของเครื่องเหนี่ยวนำความร้อนและระบบควบคุม

บทที่ 3 ผลการทดลอง

บทที่ 4 สรุปผลและวิจารณ์ผลการทดลอง

ภาคผนวก โปรแกรมวงจรไฟฟ้า

กิตติกรรมประกาศ

เอกสารอ้างอิง

เอกสารนี้เป็นเอกสารที่สงวนไว้สำหรับการใช้งานเพื่อการศึกษาเท่านั้น ไม่อนุญาตให้นำไปใช้ประโยชน์ด้านการค้า
ไม่ว่ากรณีใดๆทั้งสิ้น อีกทั้งห้ามมิให้ดัดแปลงเนื้อหา และต้องอ้างอิงถึงเจ้าของเอกสารทุกครั้งที่มีการนำไปใช้

บทนำ

การหลอมโลหะโดยอาศัยการเหนี่ยวนำนั้นจะต้องทำงานภายใต้สภาวะความถี่เรโซแนนซ์ ซึ่งเงื่อนไขการเกิดสภาวะดังกล่าว ขึ้นอยู่กับขนาดและคุณภาพของวัตถุที่จะเหนี่ยวนำให้ร้อน ค่าคาปาซิแตนซ์และอื่นๆ โดยทั่วไปวงจรเฟสล็อกูป (PLL) จะถูกนำมาใช้สร้างสภาวะดังกล่าว

ในระบบเหนี่ยวนำความร้อนแบบเก่าซึ่งก็คือระบบลเว็บริเควนซ์ จะไม่สามารถใช้ได้ในการที่ความถี่เรโซแนนซ์เปลี่ยนแปลงในช่วงกว้าง เพราะค่าความถี่เรโซแนนซ์ของเครื่องนั้นเรารู้ได้จากการทดลองแล้ว และเงื่อนไขการเหนี่ยวนำความร้อนก็ไม่เปลี่ยนแปลงอย่างใดก็ตาม เมื่อมีความต้องการที่จะให้ระบบทำงานที่ความถี่ต่างกัน เช่น วัตถุบางชนิดสามารถที่จะเหนี่ยวนำให้ร้อนได้ที่ความถี่สองค่า ดังนั้นระบบที่สามารถทำงานได้แม้ความถี่เรโซแนนซ์จะเปลี่ยนแปลงไปมากจึงเป็นที่ต้องการ จึงได้มีการเสนอระบบใหม่ซึ่งสามารถใช้งานได้ดีกว่าซึ่งก็คือระบบโพลีเรโซแนนซ์

ระบบโพลีเรโซแนนซ์ก็คือระบบซึ่งจะทำการติดตามความถี่เรโซแนนซ์ของโพลีอยู่ตลอดเวลาในขณะที่ทำการหลอมโลหะอยู่ ซึ่งในวิทยานิพนธ์นี้ได้นำเอา ไมโครโปรเซสเซอร์ 2-80 ทำหน้าที่แทนเฟสล็อกูป ซึ่งสามารถที่จะทำงานได้เมื่อความถี่เปลี่ยนแปลงไปมากๆ ซึ่งส่วนควบคุมความถี่ในระบบมีการทำงานดังนี้คือ

เริ่มแรกไมโครโปรเซสเซอร์จะทำการส่งค่าความถี่เริ่มต้นออกมาก่อนโดยผ่านวงจรตีทูปแปลงเป็นสัญญาณอนาลอก จากนั้นวิทยุเอพก็จะทำการเปลี่ยนให้เป็นความถี่ที่ต้องการอีกทีหนึ่ง ผ่านวงจรขับเพื่อไปยังขั้วปกรณลวิทซ์ซิ่ง จากนั้นส่วนตรวจจับกระแสก็จะวัดค่ากระแสส่งผ่านวงจรเอทูปแปลงกลับมาเป็นดิจิตอล เพื่อให้ไมโครโปรเซสเซอร์ประมวลผลต่อไป เสร็จแล้วไมโครโปรเซสเซอร์ก็จะส่งข้อมูลใหม่ออกมา ซึ่งจะทำให้ความถี่เปลี่ยนแปลงไป การทำงานก็จะวนเช่นนี้ไปเรื่อยๆจนกระทั่งไมโครโปรเซสเซอร์พบว่า กระแสที่วัดได้เป็นกระแสสูงสุด ก็จะเก็บค่านั้นไว้ และถ้าหากค่ากระแสลดลงเมื่อวัตถุร้อนขึ้น ทำให้ความถี่เรโซแนนซ์เปลี่ยนไป ส่วนควบคุมนี้ก็ยังจะสามารถติดตามหาความถี่เรโซแนนซ์ต่อไปได้

จากหลักการทำงานที่ได้กล่าวไปแล้วนั้น จะเห็นได้ว่า ระบบนี้มีความน่าเชื่อถือได้ เนื่องจากการใช้กระแสมาควบคุมความถี่ ยิ่งไปกว่านั้น ยังมีความรวดเร็วในการค้นหาความถี่เรโซแนนซ์

เอกสารนี้เมื่อเข้าสู่วัยที่สมควรใช้สำหรับการใช้ด้านการศึกษาเท่านั้น ไม่อนุญาตให้ไปใช้ในเชิงพาณิชย์ การคัดลอกหรือทำซ้ำโดยไม่ได้รับอนุญาตถือว่าผิดกฎหมาย และต้องอ้างอิงถึงเจ้าของลิขสิทธิ์ในการนำไปใช้

มาใช้ในการหาความถี่เรโซแนนซ์ที่ต้องการ และสามารถเหนี่ยวนำความร้อนได้ทันทีที่ต้องการ

ทฤษฎีแม่เหล็กไฟฟ้าที่เหนี่ยวนำให้เกิดความร้อน

1.1 ทฤษฎีการให้ความร้อนโดยอาศัยการเหนี่ยวนำ

(Induction heating theory)

ผลของสนามแม่เหล็กไฟฟ้าบนชิ้นงานมาจากสนามแม่เหล็กภายนอกทำให้เกิดฟลักซ์ , กระแสและกำลังงาน เริ่มแรกโดยอาศัยสมการคณิตศาสตร์เพื่อแก้ปัญหาต่างๆของวัตถุที่เป็นแผ่นก่อน โดยผลจะอยู่ในรูปของฟังก์ชันไซน์ (Function sine) หรือเอ็กโปเนนเชียลซึ่งใช้กันแพร่หลายมากกว่าไฮเพอร์โบลิก (Hyperbolic) หรือเบสเสฟฟังก์ชัน (Bessel Function) เพื่อให้เกิดความเข้าใจดีขึ้นสำหรับตัวอย่างแรกๆจะเป็นแผ่นแบนกว้าง (Semi-infinite slab) ซึ่งจำเป็นในหลายงานและยังมีสมการอื่นในการคำนวณต่อไป

1.1.2 สกินเอฟเฟคสำหรับแผ่นแบนกว้าง

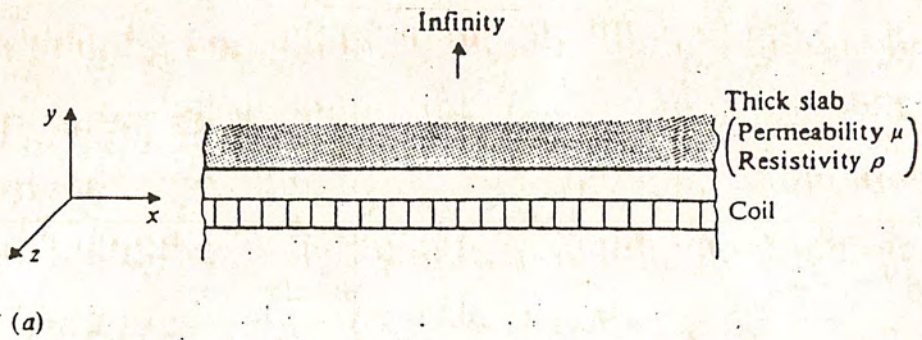
(Skin effect for Semi-infinite slab)

การประยุกต์การใช้งานการให้ความร้อนโดยอาศัยการเหนี่ยวนำนั้นจะมีการใช้งานในหลายๆแบบรวมทั้งหลอดทรงกระบอก และรูปร่างทรงกระบอกเมื่อมองทางด้านคณิตศาสตร์ไม่ใช่สิ่งที่ยากเพื่อให้เกิดความเข้าใจในสกินเอฟเฟค เราจะพิจารณาอย่างง่ายโดยมองเป็นแผ่นแบนๆ (ให้รัศมีของทรงกระบอกยาวเป็นอนันต์) และให้ผลของสมการเป็นฟังก์ชันไซน์และเอ็กโปเนนเชียลแทนที่จะเป็นเบสเสฟฟังก์ชัน ถ้าเรากำหนดให้เป็นแผ่นบางและมีกระแสไหลทั้ง 2 หน้า จะทำให้พิจารณาลำบากและมีผลลัพธ์ที่ยังยาก ฉะนั้นจึงกำหนดให้ใช้แผ่นแบนกว้างซึ่งมีความหนามากกว่าความลึกผิว (Skin depth) มาก จะทำให้สมการดูง่ายขึ้น ซึ่งในทางปฏิบัติแล้วความเข้าใจในระบบคณิตศาสตร์ที่ง่ายของแผ่นแบนกว้างก็เพียงพอแล้วสำหรับการประยุกต์ใช้งานในหลายๆด้าน

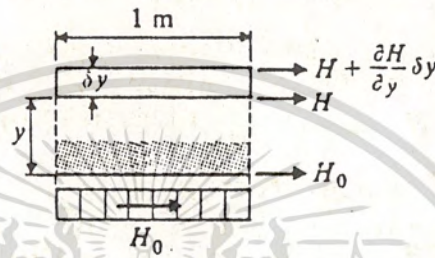
ในรูปที่ 1.1 ถ้าเรานำคอล์ยลวดขึงกับผิวของชิ้นงาน และถ้าเรามองว่าชิ้นงานเป็นทรงกระบอกที่มีขนาดใหญ่ๆตามนั้นคอล์ยจะมีรัศมีอนันต์จะทำให้เราสามารถพิจารณาเป็นแผ่นแบนๆได้ จะทำให้เกิดสนามแม่เหล็ก H_0 บนผิวของชิ้นงานที่เป็นแผ่น (Slab) ควรที่จะจำไว้ว่า H อยู่ในหน่วยแอมแปร์ต่อเมตร (Amperes per metre) ไม่ได้อยู่ในหน่วยแอมแปร์เทอรัน (Amper-turns) และความร้อนที่เกิดขึ้นไม่ได้มีผลมาจากการแบ่งแยกกระแสที่ไหลอยู่ในแต่ละตัวนำ (ที่เกิดจากรอบๆของคอล์ย) เสียทีเดียวนักแต่สิ่งที่เป็นผลจากการแยกกระแสออกไปโดยจำนวนรอบของคอล์ยคือ ค่าความต้านทานของคอล์ย , ค่าโวลต์เตจและค่ากระแสที่จ่ายเข้าสู่คอล์ย คอล์ยจะถูกสมมติให้ขึงกับชิ้นงานมากดังนั้น H_0 ของคอล์ยจะเท่ากับ H_0 ที่ผิวของชิ้นงาน

เอกสารนี้เป็นเอกสารที่สงวนไว้ว่าหนังสือเรียนที่สงวนลิขสิทธิ์ไว้ก่อนนั้น ไม่นองลดให้เป็นที่ใช้ประโยชน์ด้านการค้า สำหรับการให้ความร้อนโดยอาศัยการเหนี่ยวนำที่ให้ขนาดของสนามแม่เหล็กกลับตัวไปมา ไม่สามารถแก้ไขทั้งสิ้น อีกทั้งยังมีให้ตัดแปลงเนื้อหา และต้องอ้างอิงถึงเจ้าของเอกสารทุกครั้งที่มีการนำไปใช้

จากความเข้าใจนี้เราให้สนามแม่เหล็ก H_x ในแนวแกน x เพื่อให้เกิดเอ็ดดี้เคอร์เรนท์ในแนวแกน z



(a)



(b)

รูปที่ 1.1 แสดงการมองไหลสโตเป็นแผ่นแบนกว้างโดย

(a) คอยล์วางอยู่ใกล้แผ่นแบนกว้าง

(b) การกำหนดขนาดของแผ่นแบนกว้าง

จากเงื่อนไขขอบเขต (Boundary condition) ที่กล่าวมาจะได้ว่า

$$H_x (y=0) = H_{0M} \cos \omega t \quad (1.1)$$

$$H_y, H_z = 0 \text{ ทุกๆ แห่ง}$$

การกระจายของสนามแม่เหล็ก (H) , สนามไฟฟ้า (E) และความหนาแน่นกระแส (J) ในโลหะที่สัมพันธ์กับความถี่อธิบายได้โดยสมการการแพร่ (Diffusion equation)

$$\nabla^2 H = \frac{\mu dH}{\rho dt} ; \nabla^2 E = \frac{\mu dE}{\rho dt} ; \nabla^2 J = \frac{\mu dJ}{\rho dt} \quad (1.2)$$

ซึ่งเราจะเรียกว่าสมการสกินเอฟเฟกต์ (Skin effect equation)

จากรูปแบบของ H

$$\nabla^2 H = \frac{d^2 H}{dx^2} + \frac{d^2 H}{dy^2} + \frac{d^2 H}{dz^2} = \frac{\mu d(H_x + H_y + H_z)}{\rho dt}$$

แต่ $H_y = H_z = 0$ ดังนั้น $H = H_x$ เท่านั้นและไม่มีกรแปรเปลี่ยนในแนวแกน x และ

z ทำให้สมการลดรูปลงเหลือเพียง $\nabla^2 H = \frac{d^2 H_x}{dy^2}$ ดังนั้น

$$\frac{d^2 H_x}{dy^2} = \frac{\mu dH_x}{\rho dt}$$

เอกสารนี้เป็นเอกสารที่สงวนไว้สำหรับการใช้งานเพื่อการศึกษาเท่านั้น ไม่อนุญาตให้นำไปใช้ประโยชน์ด้านการค้า

ไม่ว่ากรณีใดๆทั้งสิ้น อีกทั้งห้ามมิให้ดัดแปลงเนื้อหา และต้องอ้างอิงถึงเจ้าของเอกสารทุกครั้งที่มีการนำไปใช้

ผลลัพธ์ของสมการนี้จะอยู่ในรูป $H_x = H_x(Y) \cos \omega t$ ซึ่ง $H_x(Y)$ จะเปลี่ยนไปตามระยะความลึก Y สามารถเขียนให้อยู่ในรูปเอ็กซ์โปเนนเชียลได้

โดยเป็นส่วนจริงของ $H_x(Y) \exp(j\omega t)$ นำค่าที่ได้แทนลงในสมการ (1.2) และจะใช้ส่วนจริงเมื่อเราต้องการอีก

$$\frac{d^2 H_x}{dY^2} - \frac{\mu j \omega H_x}{\rho} = 0 \quad (1.3)$$

ให้ $\alpha^2 = \mu \omega / 2\rho$

$$\frac{d^2 H_x}{dY^2} - 2j\alpha^2 H_x = 0$$

ให้ $K^2 = 2j\alpha^2$

$$\frac{d^2 H_x}{dY^2} - K^2 H_x = 0$$

จะได้ $H_x = A_1 \exp(KY) + A_2 \exp(-KY)$

หาค่า A_1 และ A_2 จากเงื่อนไขขอบเขต เมื่อ $Y = \text{infinity}$ H_x จะต้องมีค่าจำกัดค่าหนึ่ง ซึ่งถ้าเพิ่มค่าเท่ากับ 0 และทำให้ได้ค่า $A_1 = 0$ และเมื่อ $Y=0$; $H_x = H_{om} \exp(j\omega t)$

ดังนั้น $H_x(Y) = H_{om} \exp(-\alpha\sqrt{2j}) \exp(j\omega t)$;

แต่ $\sqrt{2j} = 1+j$

$$\begin{aligned} H_x(Y) &= H_{om} \exp[-(1+j)\alpha Y + j\omega t] \\ &= H_{om} \exp(-\alpha Y) \exp[j(\omega t - \alpha Y)] \end{aligned}$$

เมื่อแทนกลับไปอยู่ในส่วนจริงอีกจะได้

$$H_x(Y) = H_{om} \exp(-\alpha Y) \cos(\omega t - \alpha Y) \quad (1.4)$$

เป็นสมการที่สำคัญมากในการให้ความร้อนโดยอาศัยการเห็นเขี้ยว

1.1.2 ค่าความลึกผิว

1. ที่ผิว $Y = 0$, $H_x = H_{om} \cos \omega t$

2. ที่ระยะความลึก Y ขนาดของสนามแม่เหล็กจะตกลงแนวเอ็กซ์โปเนนเชียลและแปรไปตามความถี่ (ωt) ; และมีค่าความต่างเฟสเท่ากับ $(-\alpha Y)$ จากสนามที่ผิว

เมื่อ $Y = 1/\alpha$ ขนาดจะเท่ากับ e^{-1} เท่าของที่ผิวและต่างเฟสไป 1 เรเดียน (57.3)

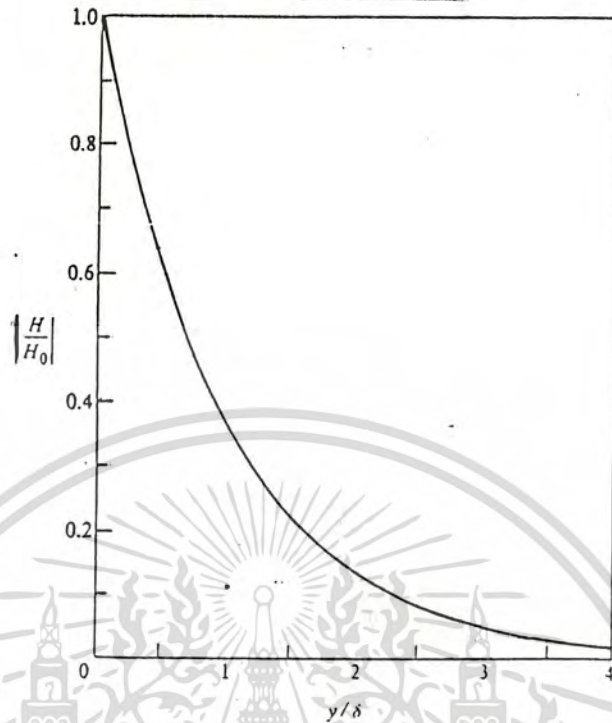
ซึ่งขนาด $1/e = 0.368$ ของค่าที่ผิว ให้ชื่อว่าค่าความลึกผิว (Skin depth) หรือ depth of penetration, δ แต่ไม่ได้หมายความว่าเมื่อเลยค่าความลึกผิวไปแล้วจะไม่มีสนามอยู่เลยตัว

อย่างเช่น ที่ความลึก 2 เท่าของค่าความลึกผิว ($Y = 2/\alpha$) ขนาดของสนามเท่ากับ $e^{-2} H_{om}$

เอกสารนี้เป็นเอกสารที่สงวนไว้สำหรับการใช้งานเพื่อการศึกษาเท่านั้น ไม่นอนุญาตให้นำไปใช้ประโยชน์ด้านการค้า

ไม่ว่ากรณีใดๆทั้งสิ้น อีกทั้งห้ามมิให้ดัดแปลงเนื้อหา และต้องอ้างอิงถึงเจ้าของเอกสารทุกครั้งที่มีการนำไปใช้

(หรือ $0.135H_0$) จะเห็นว่ามีความลึกของสนามแม่เหล็กที่ลดลงจนเหลือค่าเพียงเล็กน้อยเท่านั้น รูปที่ 1.2 แสดงค่าการเปลี่ยนแปลงของ H ต่อค่าความลึกมักจะใช้เรโซ y/δ ในงานการให้ความร้อนโลหะโดยอาศัยการเหนี่ยวนำ



รูปที่ 1.2 แสดงการเปลี่ยนแปลงของความเข้มสนามแม่เหล็ก (H) ต่อความลึก $S =$ ความลึกผิวตั้งสมการที่ 1.5

เรากำหนดให้ $\alpha^2 = \mu\omega/2\rho$

$$\text{Depth of penetration, } S = (2\rho/\mu\omega)^{1/2} \quad (1.5)$$

โดยที่ $\mu = \mu_r \mu_0$

ดังนั้นจะเห็นได้ว่าค่าความลึกผิวขึ้นอยู่กับ (resistivity)^{1/2}, $1/(\text{permeability})^{1/2}$

และ $1/\sqrt{f}$

1.1.3 ค่าความหนาแน่นกระแส , ความหนาแน่นฟลักซ์ และสนามไฟฟ้า

(Current density , flux density and electric field)

จากสมการ $B = \mu H$ โดยเราจะสมมติว่าวัตถุไม่มีการอิมิตัวจากสนามแม่เหล็กไฟฟ้า เราจะได้ว่า

$$B_y = H_{0m} \exp(-\alpha y) \cos(\omega t - \alpha y) \quad (1.6)$$

เราสามารถที่จะใช้สมการของแมกซ์เวลล์ที่ความถี่ต่ำ (low frequency Maxwell equation)

$\nabla \times H = j$ เพื่อที่จะหาค่า j ในแผ่นแบนกว้าง ดีเทอร์มิแนนต์ (Determinant) สำหรับ

$\nabla \times H$ คือ

เอกสารนี้เป็นเอกสารที่สงวนไว้สำหรับการใช้งานเพื่อการศึกษาเท่านั้น ไม่อนุญาตให้นำไปใช้ประโยชน์ด้านการค้า

ไม่ว่ากรณีใดๆทั้งสิ้น อีกทั้งห้ามมิให้ดัดแปลงเนื้อหา และต้องอ้างอิงถึงเจ้าของเอกสารทุกครั้งที่มีการนำไปใช้

$$\begin{vmatrix} i & j & k \\ \frac{d}{dx} & \frac{d}{dy} & \frac{d}{dz} \\ H_x & H_y & H_z \end{vmatrix}$$

เราได้กล่าวมาแล้วว่า $H_y = H_z = 0$ และ H ไม่มีการแปรเปลี่ยนไปในแนวแกน x และ z ดังนั้น

$$\text{curl } H = \begin{vmatrix} i & j & k \\ 0 & \frac{d}{dy} & 0 \\ H_x & 0 & 0 \end{vmatrix}$$

และ

$$J_z = -K \frac{dH_x}{dy} = K \frac{d}{dy} [-\exp(j\omega t) \exp(-\alpha Y / 2j)] H_{om} \text{ (real part)}$$

$$= K \alpha \sqrt{2j} \exp(-\alpha Y \sqrt{2j} + j\omega t) H_{om} \text{ (real part)}$$

แต่ $\sqrt{2j} = 1+j = \sqrt{2} \exp(j\pi/4)$ และดังนั้น

$$J_z = K \alpha \sqrt{2} \exp[-\alpha Y (1+j) + j\omega t + j\pi/4] H_{om}$$

$$= K \alpha \sqrt{2} H_{om} [\exp(-\alpha Y) \cos(\omega t - \alpha Y + \pi/4)] \quad (1.7)$$

จากสมการแสดงให้เห็นว่า J ตั้งฉากกับ H และต่างเฟสกับ H 45 องศา

เมื่อ $Y = 0$

$$J_{z0} = \sqrt{2} H_{om} \alpha \exp[j(\omega t + \pi/4)] = \sqrt{2} H_{om} \alpha \exp(j\pi/4),$$

ดังนั้น

$$J_z(Y) = J_{z0} \exp[-\alpha Y \sqrt{2j}] = J_{z0} \exp(-\alpha Y) \cos(\omega t - \alpha Y) \quad (1.8)$$

จากลักษณะนี้แสดงว่าการแปรเปลี่ยนของ J_z เป็นไปในลักษณะเดียวกับ H และ B ซึ่งตั้งอยู่กับค่า

ที่ผิวของมีด

เราทราบว่า $E = \rho J$ ดังนั้น

$$E = \rho J = \rho J_{z0} \exp(-\alpha Y) \cos(\omega t - \alpha Y) \quad (1.9)$$

เอกสารนี้เป็นเอกสารที่สงวนไว้สำหรับการใช้งานเพื่อการศึกษาเท่านั้น ไม่นิยมนำไปใช้ประโยชน์ด้านการค้า

ไม่ว่ากรณีใดๆทั้งสิ้น อีกทั้งห้ามมิให้ดัดแปลงเนื้อหา และต้องอ้างอิงถึงเจ้าของเอกสารทุกครั้งที่มีการนำไปใช้

จากสมการทั้งหมดที่ผ่านมามีทำให้เราทราบว่าค่าทางแม่เหล็กต่างๆ (H, B, J และ E) ต่างก็อยู่ในกฎเกณฑ์ของสกินเอฟเฟคและรูป 1.2 ก็สามารณนำมาใช้กับ $|B/B_0|$, $|J/J_0|$ หรือ $|E/E_0|$ ได้

1.1.4 กระแสทั้งหมดในชั้นงาน (Total current)

กระแสทั้งหมดในความกว้าง 1 เมตร สามารถหาได้โดยการอินทิเกรต J ในตลอดความลึกของแผ่นกว้างแบน

กระแสต่อความกว้าง 1 เมตร (current per metre width)

$$\alpha \qquad \alpha$$

$$= \int_0^{\infty} J_z dy(x) = \int_0^{\infty} J_{om} \exp(-\alpha y) \cos(\omega t - \alpha y) dy$$

$$= \int_0^{\infty} \text{Real part of } \frac{\exp(j\omega t)}{(1+j)\alpha} = \frac{J_{om}}{\alpha} \frac{\exp(j\omega t)}{\sqrt{2}\exp(j\pi/4)}$$

$$= \frac{J_{om}}{\sqrt{2}\alpha} \cos(\omega t - \pi/4) \qquad (1.10)$$

ดังนั้นกระแสต่อหน่วยความกว้างซึ่งกล่าวถึง (1.10) ไปจากความหนาแน่นของกระแสที่ผิวประมาณ 45 องศา แต่

$$J_{om} = \sqrt{2} H_{om} \exp(j(\omega t + \pi/4))$$

จากสมการที่ (1.8) ได้ว่า

$$\text{กระแสต่อความกว้าง 1 เมตร} = \frac{(\sqrt{2} H_{om} \exp(j(\omega t + \pi/4))) \exp(-j\pi/4)}{\sqrt{2}\alpha}$$

$$= H_{om} \exp(j\omega t) \qquad (1.11)$$

ค่ากระแสต่อความกว้างโดยประมาณแล้วมีค่าเท่ากับ H ที่ผิว ผลลัพธ์นี้สามารถที่จะหาได้โดยการใส่ไลเนอินเทกรัล (line intregal) รอบๆกระแส เนื่องจากไม่มีการเกิด H ในแนว Y หรือที่นั่น $(H_{om} \cdot 1) = (I)$ ดังนั้น $I = H_{om}$ ได้ผลลัพธ์ตามข้างบนและปริมาณทั้ง 2 นี้จะอินเฟสกัน

1.1.5 กำลังและฟลักซ์สำหรับแผ่นแบนกว้าง

(Power and flux semi-infinite slab)

1.1.5.1 ค่าความสูญเสีย (Loss)

ค่าความสูญเสียต่อพื้นที่ 1 ตารางเมตร (ค่ากำลังที่เกิดขึ้นบนชั้นงาน , I หาได้โดยการอินทิเกรต J^2 ตลอดทั้งปริมาตรและช่วงคาบของเวลา

เอกสารนี้เป็นเอกสารที่สงวนไว้สำหรับการใช้งานเพื่อการศึกษาเท่านั้น ไม่อนุญาตให้นำไปใช้ประโยชน์ด้านการค้า ไม่ว่าจะกรณีใดๆทั้งสิ้น อีกทั้งห้ามมิให้ดัดแปลงเนื้อหา และต้องอ้างอิงถึงเจ้าของเอกสารทุกครั้งที่มีการนำไปใช้

$$L = \int_0^{\alpha} \int_0^{\infty} J_{\alpha m}^2 dY (x1x1) \quad (1.12)$$

$$= \int_0^{\alpha} J_{\alpha m}^2 \int_0^{\infty} \exp(-2\alpha Y) \cos^2(\omega t - \alpha Y) dY dt$$

การอินทิเกรตส่วนที่เป็น \cos^2 สามารถหาได้โดยการใช้ค่าเฉลี่ยซึ่งได้ค่าเท่ากับ $1/2$ ที่ค่า Y ต่างๆกัน ค่า αY เป็นค่าเฟสที่เปลี่ยนไปซึ่งไม่มีผลกับการอินทิเกรต ดังนั้นค่าความสูญเสียต่อพื้นที่ ตารางเมตรคือ

$$L = \int_0^{\alpha} J_{\alpha m}^2 \int_0^{\infty} \exp(-2\alpha Y) dY \quad (1.13)$$

แต่เรารู้ว่า $\left| J_{\alpha m} \right| = \sqrt{2} \left| H_{\alpha m} \left[\alpha \sqrt{2} \right] H_{\alpha m} / S \right|$

$$L = \frac{\int_0^{\alpha} H_{\alpha m}^2}{2\pi} \quad (1.14)$$

โดยที่ $H_{\alpha m}$ คือค่าอาร์เอ็มเอส (r.m.s) ของ H ที่ผิว

2.1.5.2 ฟลักซ์รวมและค่าตัวประกอบกำลัง (Total flux and power factor)

ค่าฟลักซ์รวมในแผ่นแบน (Φ) ต่อความกว้าง 1 เมตรหาได้จากการอินทิเกรต

$B_y(Y) dY$ ตลอดแผ่นแบน

$$\Phi = \int_0^{\alpha} \mu H_{\alpha m} \int_0^{\infty} \exp[-j\omega t - (1+j)\alpha Y] dY (x1) \quad (\text{Real part})$$

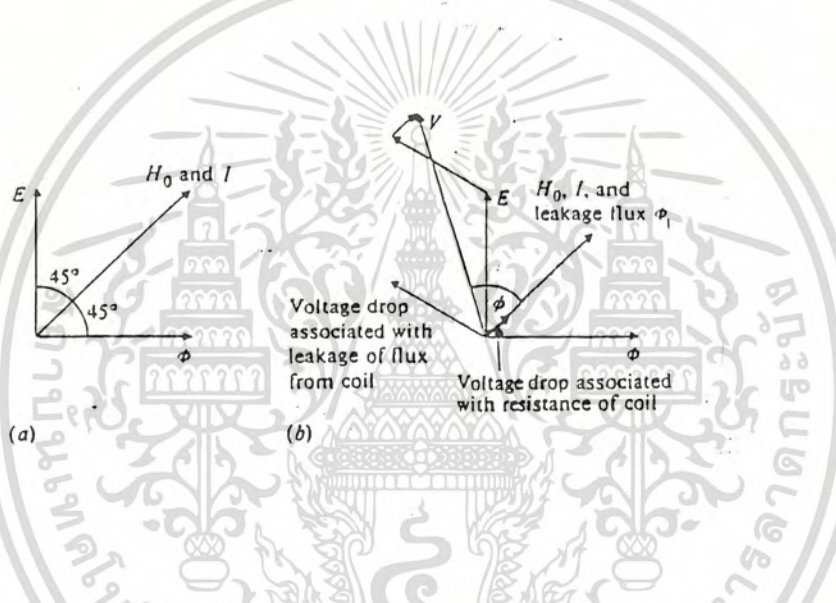
$$= \frac{\mu H_{\alpha m}}{\sqrt{2}\alpha} \cos(\omega t - \pi/4) \quad (1.15)$$

ค่าฟลักซ์รวมต่อความกว้าง 1 เมตร จะเป็นสัดส่วนกับค่า $H_{\alpha m}$ และมีเฟสที่ล่าช้าลงอยู่ 45 องศา เอกสารนี้เป็นเอกสารที่สงวนไว้สำหรับการใช้งานเพื่อการศึกษาเท่านั้น ไม่นิยมนำไปใช้ประโยชน์ด้านการค้า ไม่ว่าจะกรณีใดๆทั้งสิ้น อีกทั้งห้ามมิให้ดัดแปลงเนื้อหา และต้องอ้างอิงถึงเจ้าของเอกสารทุกครั้งที่มีการนำไปใช้

ค่ากระแสรวมจะอยู่ในเฟสเดียวกับ H_0 เนื่องจากค่าฟลักซ์ที่ผิวอยู่ในเฟสเดียวกับ H_{0m} ดังนั้นค่าฟลักซ์รวมจะมีเฟสที่ล่าช้าหลังค่าฟลักซ์ที่ผิวอยู่ 45 องศา

$$E = \frac{Nd\phi}{dt} = \frac{-\mu H_{0m} Nw \sin(\omega t - \pi/4)}{\sqrt{2}\alpha} = \frac{\mu H_{0m} Nw \cos(\omega t + \pi/4)}{\sqrt{2}\alpha} \quad (1.16)$$

ค่าตัวประกอบกำลังของแผ่นแบนได้มาจากความสัมพันธ์ระหว่าง E และ I ซึ่งแสดงโดยเฟเซอร์ไดอแกรม (Phasor diagram) ตามรูป 1.3a ค่ากระแสล่าช้าหลังค่าอีเอ็มเอฟ (E.M.F) อยู่ 45 องศา ดังนั้นค่าตัวประกอบกำลังเท่ากับ 0.707 lagging ซึ่งจะได้ว่าค่าความต้านทานของไหลล้นมีค่าเท่ากับค่ารีแอคแตนซ์ (Leakage reactance) ทำให้ค่าตัวประกอบกำลังมีค่าเสวยงและคออส์จึงมีค่าความต้านทานซึ่งทำให้ค่าโวลเตจตกกลดไปอีกดังแสดงดังรูป 1.3b



รูปที่ 1.3 (a) เฟสเซอร์ไดอแกรมในอุดมคติสำหรับแผ่นแบนกว้าง
(b) เฟสเซอร์ไดอแกรมที่รวมค่าความต้านทานของคออส์และค่ารีแอคแตนซ์

2.2 รูปแบบของการหลอมโลหะโดยอาศัยการเหนี่ยวนำ

ทฤษฎีของการให้ความร้อนโดยอาศัยการเหนี่ยวนำสามารถประยุกต์ใช้กับการหลอมแบบเหนี่ยวนำได้อย่างสมบูรณ์ทำให้มีการพัฒนาเตาหลอมแบบเหนี่ยวนำขึ้นแทนเตาหลอมแบบเชื้อเพลิงที่มีอยู่เดิม ข้อได้เปรียบของเตาหลอมแบบเหนี่ยวนำได้แก่

1. ปราศจากก๊าซและของเสียอันจะก่อให้เกิดปฏิกิริยาที่ไม่ต้องการ
2. ใช้ระยะเวลาในการหลอมสั้นกว่า เมื่อเทียบกับเตาหลอมแบบอื่นที่ขนาดเดียวกัน
3. สิ้นเปลืองค่าใช้จ่ายและต้นทุนที่ต่ำกว่า

เอกสารนี้เป็นเอกสารที่สงวนไว้สำหรับการใช้งานเพื่อการศึกษาเท่านั้น ไม่อนุญาตให้นำไปใช้ประโยชน์ด้านการค้า ไม่ว่าจะกรณีใดๆทั้งสิ้น อีกทั้งห้ามมิให้ดัดแปลงเนื้อหา และต้องอ้างอิงถึงเจ้าของเอกสารทุกครั้งที่มีการนำไปใช้



4. ไม่มีการสูญเสียความร้อน ปรนัยจากควันและสะเก็ด
5. มีการสูญเสียของโลหะขณะการหลอมต่ำ
6. มีค่าบำรุงรักษาเตาหลอมต่ำ
7. สามารถนำวิทยาการใหม่เข้าประยุกต์รวมกันได้

ต่อไปจะขอแนะนำชนิดของเตาหลอมที่ใช้กันแพร่หลาย ซึ่งมีอยู่ 2 ชนิดได้แก่

1.2.1 เตาหลอมแบบไร้แกนกลาง (Coreless Induction Furnace)

ลักษณะของเตาหลอมแบบนี้จะประกอบด้วยเตาหลอมที่ทนความร้อนสูงวางอยู่แกนกลาง ภายนอกล้อมรอบด้วยคอยล์กำลังซึ่งทำจากทองแดงกลวง สามารถใช้น้ำผ่านเพื่อระบายความร้อน (Cooling) ได้ ตัวคอยล์จะมีสารแม่เหล็กคลุมเพื่อใช้น้ำแม่เหล็กให้ครบรอบตัวมันเอง เป็นการป้องกันการรั่วของเส้นแรงแม่เหล็กซึ่งจะทำให้ประสิทธิภาพของตัวคอยล์ลดลง และป้องกันการเหนี่ยวนำให้เกิดความร้อนกับชิ้นโลหะที่อยู่ใกล้

ประโยชน์หลักของเตาหลอมแบบไร้แกนกลางคือ การหลอมโลหะ มักจะใช้ในการหลอมโลหะเข้าเพื่อให้ได้อุณหภูมิที่ต้องการก่อนการเทใส่แทนพิมพ์ ส่วนกำลังไฟที่จ่ายให้กับตัวคอยล์ของเตาหลอมแบบไร้แกนกลางนั้นช่วงความถี่ต่างๆกันดังนี้

1. 50/60 Hz (ความถี่หลัก)
2. 150/180 Hz (Triple Frequency)
3. 500 ถึง 5,000 Hz (2, 3 เป็นความถี่ระดับกลาง)
4. ความถี่ระดับสูง โดยใช้สำหรับเตาหลอมขนาดเล็ก

เตาหลอมแบบไร้แกนกลางมีขอบเขตในการทำงานกับสารอัลลอย (Alloy) หลายชนิดที่การหลอมเดียวกัน และมีความต่อเนื่องในการหลอม โดยจะเริ่มหลอมสารตัวต่อมาเมื่อสารก่อนหน้านั้นหลอมและระบายออกหมดไป แต่มีข้อจำกัดคือ เราไม่สามารถหลอมโลหะชั้นเล็กกว่าความถี่หลักได้ เพราะจะเกิดการสั่นสะเทือนซึ่งจะเป็นอันตรายต่อเตาหลอม ส่วนที่ระดับความถี่สูงเรามักจะพบเห็นได้กับเตาหลอมขนาดเล็กที่ใช้ในห้องทดลอง เช่นใช้ในการหลอม ทอง เงิน เป็นต้น เตาหลอมแบบไร้แกนกลาง จะมีช่วงการเริ่มทำงานเร็วจากสภาพที่เบาเปล่าหรืออุณหภูมิต่ำจนถึงอุณหภูมิที่ต้องการ และให้ผลงานได้มากกว่าเตาหลอมชนิดอื่นๆ

1.2.2 เตาหลอมแบบช่อง (Channel Induction Furnace)

ลักษณะของเตาหลอมแบบช่องทางที่จะครอบหัวท้ายของตัวอ่างจะบรรจุโลหะเพื่อสร้างเส้นทาง การไหลของกระแสไฟให้ครบวงจรในลักษณะการลัดวงจรของขดลวดคฤศมิกซ์ของหม้อแปลงไฟฟ้า ซึ่งความร้อนที่ใช้ในการหลอมโลหะคือ ความร้อนที่เกิดจากการไหลของกระแสไฟฟ้าในลวดโลหะนั้น เอกสารนี้เป็นเอกสารที่สงวนไว้สำหรับการใช้งานเพื่อการศึกษเท่านั้น ไม่อนุญาตให้นำไปใช้ประโยชน์ด้านการค้า ใดๆ ดังนั้นสิ่งที่ต้องคำนึงถึงคือ อัตราส่วนของจนวนรอบอินจะมผลต่อความต้านทานทางานซึ่งจะเป็นตัวจำกัด ไมวากรณีใดๆทั้งสิ้น อีกทั้งยังมีให้ตัดแปลงเนื้อหา และต้องอ้างอิงถึงเจ้าของเอกสารทุกครั้งที่มีการนำไปใช้

กระแสไว้ ระดับความถี่ที่ใช้คือ 50/60 Hz มีค่าตัวประกอบกำลังประมาณ 0.5 - 0.7 ซึ่งสูงกว่าแบบไว้แกนกลาง และมีประสิทธิภาพถึง 90-95%

1.3- ระบบอินเวอร์เตอร์ (Inverter)

อินเวอร์เตอร์เป็นอุปกรณ์ที่ทำหน้าที่เปลี่ยนสัญญาณไฟฟ้าที่เป็นกระแสตรง (DC) ให้เป็นสัญญาณไฟฟ้ากระแสสลับ (AC) โดยอาศัยอุปกรณ์สวิทช์ซึ่งเป็นสวิทช์เปิดปิด ในโครงงานนี้ใช้ระบบอินเวอร์เตอร์แบบเฟสเดียวดังนั้นจะขอกล่าวถึงอินเวอร์เตอร์เฟสเดียวที่นิยมใช้กันทั่วไปเท่านั้น ระบบอินเวอร์เตอร์เฟสเดียวแบ่งออกเป็น 3 แบบคือ

1.3.1 อินเวอร์เตอร์แบบพัสทูล

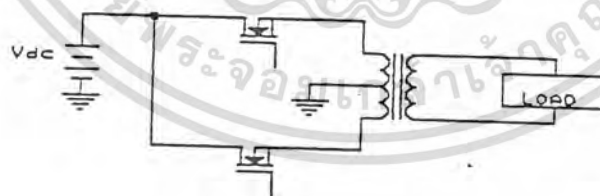
1.3.2 อินเวอร์เตอร์แบบฮาล์ฟบริดจ์

1.3.3 อินเวอร์เตอร์แบบฟูลบริดจ์

โดยแต่ละแบบมีรายละเอียดดังนี้

1.3.1 อินเวอร์เตอร์แบบพัสทูล

อินเวอร์เตอร์แบบนี้ใช้อุปกรณ์สวิทช์ซึ่งเพียง 2 ตัวเท่านั้นแต่ต้องมีหม้อแปลงเซ็นเตอร์แทป (Center tap) อินเวอร์เตอร์แบบนี้เหมาะสำหรับงานที่ไม่ต้องการกำลังสูงนัก เนื่องจากการใช้หม้อแปลงเซ็นเตอร์แทปจะทำให้มีสไปค์โวลต์ที่แรงเกิดขึ้นมาก และข้อเสียอีกแบบหนึ่งของอินเวอร์เตอร์แบบนี้คือ ต้องพินดัดแปรมุมให้ชดเชยสองขดที่แบ่งโดยจุดกราวด์ที่มีความสมมาตร (Symmetrical) กันลักษณะของอินเวอร์เตอร์แบบนี้แสดงไว้ดังรูป 1.4



PUSH PULL INVERTER

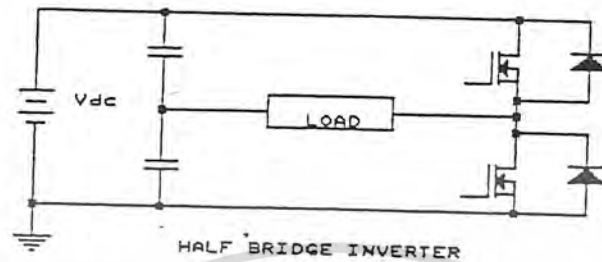
รูปที่ 1.4 แสดงอินเวอร์เตอร์แบบพัสทูล

1.3.2 อินเวอร์เตอร์แบบฮาล์ฟบริดจ์

อินเวอร์เตอร์แบบนี้ใช้อุปกรณ์สวิทช์ซึ่ง 2 ตัว แต่ต้องมีคาปาซิเตอร์ (Capacitor) 2 ตัวเพื่อแบ่งโวลต์ที่แรงออกมาต่อคร่อมคาปาซิเตอร์ตัวละครึ่ง ข้อเสียของอินเวอร์เตอร์ชนิดนี้คือค่ากำลังที่ไม่ว่ากรณีใดๆทั้งสิ้น อีกทั้งห้ามมิให้ตัดแปลงเนื้อหา และต้องอ้างอิงถึงเจ้าของเอกสารทุกครั้งที่มีการนำไปใช้

ออกมาจะน้อยกว่าแบบพูลและฟูลบริดจ์ครึ่งหนึ่ง
ของอินเวอร์เตอร์แบบนี้เป็นดังรูปที่ 1.5

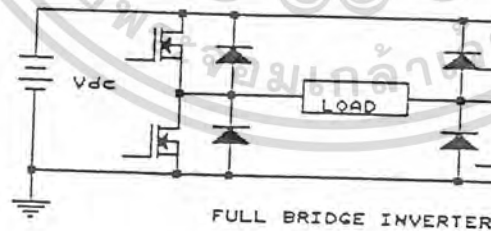
เนื่องจากค่าโวลท์เตจลดลงครึ่งหนึ่งลักษณะ



รูปที่ 1.5 แสดงอินเวอร์เตอร์แบบฮาล์ฟบริดจ์

1.3.3 อินเวอร์เตอร์แบบฟูลบริดจ์

เป็นระบบอินเวอร์เตอร์ที่ใช้ในโครงการอินเวอร์เตอร์แบบนี้ใช้อุปกรณ์สวิชชิง 4 ตัว สำหรับอินเวอร์เตอร์เฟสเดียวมีข้อได้เปรียบคือสามารถให้กำลังงานออกมาได้สูง จึงเหมาะสำหรับงานที่ต้องการค่ากำลังงานสูงๆลักษณะของอินเวอร์เตอร์แบบนี้แสดงไว้ในรูป 1.6



รูปที่ 1.6 แสดงอินเวอร์เตอร์แบบฟูลบริดจ์

เอกสารนี้เป็นเอกสารที่สงวนไว้สำหรับการใช้งานเพื่อการศึกษาเท่านั้น ไม่อนุญาตให้นำไปใช้ประโยชน์ด้านการค้า
ไม่ว่ากรณีใดๆทั้งสิ้น อีกทั้งห้ามมิให้ดัดแปลงเนื้อหา และต้องอ้างอิงถึงเจ้าของเอกสารทุกครั้งที่มีการนำไปใช้

1.4 ระบบอินเวอร์เตอร์ของการให้ความร้อนโดยอาศัยการเหนี่ยวนำ

(Induction Heating Inverter)

จากแบบของอินเวอร์เตอร์ที่ได้กล่าวมาแล้วนั้น เราสามารถเลือกใช้ตามความเหมาะสมของงานได้ ในโครงงานนี้ได้เลือกแบบฟลูบริดจ์เป็นตัวทำหน้าที่จ่ายกำลังงาน (Generator) ไปสู่คอล์ยที่ให้ความร้อน

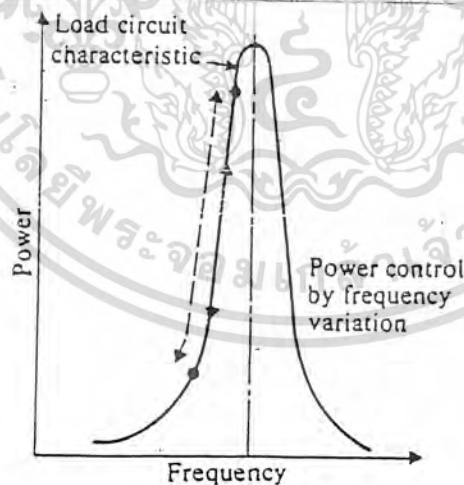
ระบบการจ่ายกำลังงานไปสู่หัวคอล์ยโดยใช้อินเวอร์เตอร์ ที่ใช้กันมากมีอยู่ 2 ระบบคือ

1. สเวปเฟรQUENCY เจเนอเรเตอร์ (Swept-frequency generator)
2. โหลดเรโซแนนท์ (Load-resonant generator)

ซึ่งมีรายละเอียดดังนี้

1.4.1 ระบบสเวปเฟรQUENCY เจเนอเรเตอร์ (Swept-frequency)

เป็นระบบที่ได้รับการพัฒนามาก่อน ระบบนี้ถูกออกแบบมาสำหรับงานทางด้านทหารลอมที่ต้องการระดับกำลังสูงสุด ประมาณ 100 กิโลวัตต์ (Kilowatt) โดยค่ากำลังงานที่จ่ายออกไปสู่โหลดจะแปรเปลี่ยนไปตามความถี่ ซึ่งได้เปรียบของระบบนี้คือ ค่ากำลังที่ออกไปสู่โหลดจะถูกจำกัดด้วยลักษณะของโหลดในขณะนั้นเท่ากับโหลดที่มีค่า $Q(x1/R)$ สูง ลักษณะการเปลี่ยนแปลงค่ากำลังต่อค่าความถี่ของระบบนี้แสดงไว้ในรูปที่ 1.7

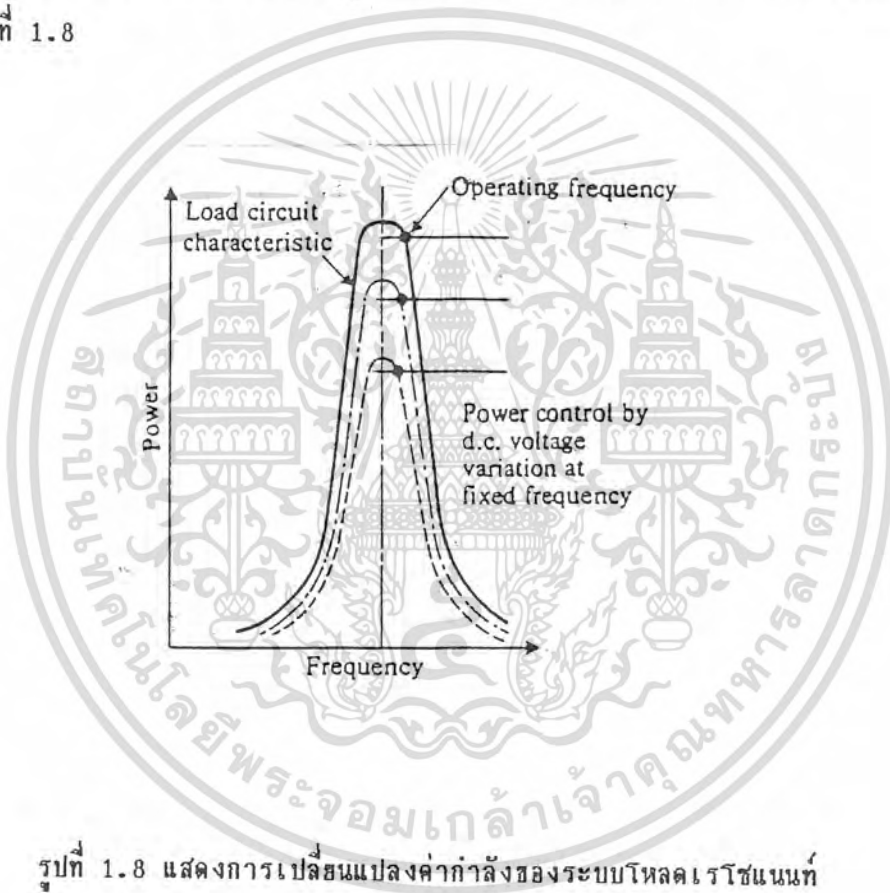


รูปที่ 1.7 แสดงการเปลี่ยนแปลงค่ากำลังของระบบสเวปเฟรQUENCY

เอกสารนี้เป็นเอกสารที่สงวนไว้สำหรับการใช้งานเพื่อการศึกษาเท่านั้น ไม่อนุญาตให้นำไปใช้ประโยชน์ด้านการค้า ไม่ว่าจะกรณีใดๆทั้งสิ้น อีกทั้งห้ามมิให้ดัดแปลงเนื้อหา และต้องอ้างอิงถึงเจ้าของเอกสารทุกครั้งที่มีการนำไปใช้

1.4.2 ระบบโหลดเรโซแนนท์ (Load-resonant)

ระบบนี้ได้รับการพัฒนาต่อมาจากระบบสวิตช์เฟรมเพื่อให้ออกกำลังออกไปสู่โหลดสูงชัน โดยไม่ขึ้นอยู่กับค่า Q ของโหลด มีความเหมาะสมกับงานที่ต้องการค่ากำลังสูงๆ ลักษณะการทำงานของระบบนี้ค่าความถี่ของอินเวอร์เตอร์จะเปลี่ยนไปตามโหลด โดยความถี่จะวิ่งเข้าสู่ความถี่เรโซแนนท์ และการปรับค่ากำลังที่ออกสู่โหลดทำได้โดยการปรับค่าของไฟกระแสตรงที่จ่ายเข้าสู่อินเวอร์เตอร์ ดังนั้นประสิทธิภาพของระบบสวิตช์เฟรมที่หายไประหว่างที่จัดตั้งไปในลักษณะของการเปลี่ยนแปลงค่ากำลังของระบบโหลดเรโซแนนท์ ซึ่งระบบโหลดเรโซแนนท์นี้เป็นระบบที่ใช้ในโครงการนี้โดยความถี่เรโซแนนท์จะถูกติดตามโดยไมโครโปรเซสเซอร์ ระบบดังกล่าวแสดงไว้ดังในรูปที่ 1.8



รูปที่ 1.8 แสดงการเปลี่ยนแปลงค่ากำลังของระบบโหลดเรโซแนนท์

โครงสร้างของเครื่องเหนี่ยวนำความร้อนและระบบควบคุม

2.1 มอสเฟตกำลัง

เฟดธรรมชาติลักษณะทางโครงสร้าง การไหลของกระแสทางแนวนอน ซึ่งจะมีช่องทางไหลของกระแสอยู่ในช่องแคบๆเท่านั้น ไม่สามารถทำงานที่วัตต์สูงๆได้ จากการทำให้เฟตนำกระแสได้ในแนวตั้งเหมือนทรานซิสเตอร์ทำให้สามารถใช้งานเฟตได้ที่กำลังสูงๆ เรียกโครงสร้างเฟตแบบนี้ว่า VMOS (Vertical MOS)

ในขณะที่ใช้งานเราจะใช้แรงดันที่ขาเกตและเดรนมีศักดาเป็นบวกเมื่อเทียบกับแรงดันที่ซอร์ส ส่วนของเกตจะสร้างสนามไฟฟ้าเหนี่ยวนำให้เกิดช่องตีผลิชั้นในเนื้อสารส่วน P ซึ่งเป็นส่วนลบหรือช่องทางไหลของกระแสระหว่างเดรนกับซอร์ส การไหลของกระแสจะเกิดขึ้นในแนวตั้งและเป็นระยะทางของการเคลื่อนที่ของประจุที่สั้นเมื่อเทียบกับการไหลในแนวราบ ดังนั้นความต้านทานระหว่างเดรนกับซอร์สจึงมีค่าต่ำเนื่องจากการไหลของกระแสเดรนเกิดจากพาหะที่เป็นอิเล็กตรอนอิสระอย่างเด็ชว ดังนั้นถ้าให้แรงดันที่เกตมีค่าสูงขึ้น ช่องทางเดินของกระแสอิเล็กตรอนก็จะกว้างขึ้น การไหลของกระแสก็จะมากขึ้นตามด้วย

ข้อได้เปรียบจากการใช้มอสเฟตมีดังนี้

1. ด้านความเร็ว

มอสเฟตกำลังมีความสามารถในการสวิตชิงด้วยความรวดเร็วโดยปราศจากการสะสมประจุอย่างไบโพลาร์ทรานซิสเตอร์จึงไม่คิดช่วงเวลาสะสม จึงทำให้ขนาดและน้ำหนักเบาจึงทำให้มอสเฟตมีความเร็วมากกว่าทรานซิสเตอร์ในการสวิตชิงมาก

ความเร็วของมอสเฟตนั้นขึ้นอยู่กับอัตราการอัดและคายประจุของการเก็บประจุของมอสเฟตเอง โดยจะไม่ขึ้นกับอุณหภูมิ

2. ลักษณะของอินพุท

ขาเกตขของมอสเฟตกำลัง นั้นจะถูกแยก (ISOLATE) จากแหล่งจ่ายด้วยชั้นออกไซด์ที่ทำให้เกิดความต้านทานกระแสตรงประมาณ 40 เมกกะโอห์ม มอสเฟตจะถูกไบอัสด้วยแรงดัน 10 โวลท์ ด้วยแรงดันขนาดนี้จึงสามารถขับมอสเฟตนี้ได้ด้วย ไอซี ซีมอส หรือ ทีทีแอล ได้โดยตรงจึงไม่ต้องคำนึงถึงกระแสของโหลด ทำให้ลดความยุ่งยากของวงจรขับ โดยรวมแล้วจะทำให้ประหยัดแอสซึเป็นเอกสารที่สงวนไว้สำหรับการใช้งานเพื่อการศึกษาเท่านั้น เมื่อนูญาติเห็นไปใช้ประโยชน์ด้านการค้า
ยังไม่วางกรณิดุๆทั้งสิ้น อีกทั้งห้ามมิให้ดัดแปลงเนื้อหา และต้องอ้างอิงถึงเจ้าของเอกสารทุกครั้งที่มีการนำไปใช้

3. ย่านทำงานปลอดภัย

การใช้งานเกินพิกัดของมอสเฟตนั้น อาจจะทำให้มอสเฟตพังได้ แต่สำหรับมอสเฟตแล้ว บางที่อาจจะไม่จำเป็นต้องใช้วงจรสับเบอร์ก็ได้ หรือใช้ค่าตัวเก็บประจุเล็กๆได้ ขอบเขตของย่านปลอดภัย ถูกกำหนดด้วยพิกัดกระแสสูงสุด แรตตันเบรคดาวน์ และความจุของอุปกรณ์ ขอบเขตของย่านปลอดภัยจะกว้าง เนื่องจากไม่เกิดเบรคดาวน์เซคันดารี

4. แรตตัน

แรตตันต่ำสุดของมอสเฟตกำลังหาได้จากค่าความต้านทานของอุปกรณ์ r_{DS} สำหรับอุปกรณ์ แรตตันต่ำ ค่าของ r_{DS} จะต้องมีค่าต่ำที่สุด สำหรับอุปกรณ์แรตตันสูงค่า r_{DS} ต้องมีค่าสูงขึ้น เนื่องจาก ส.ป.ส. อุณหภูมิ r_{DS} เป็นบวก

5. ล้มประสิทธิทางอุณหภูมิ

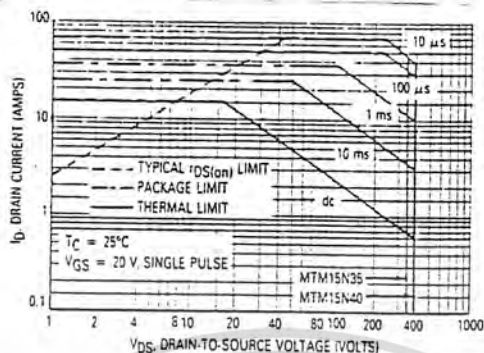
ล้มประสิทธิทางอุณหภูมิของมอสเฟตมีค่าตรงข้ามกับทรานซิสเตอร์ กล่าวคือ เมื่ออุณหภูมิในตัวมอสเฟตสูงขึ้น กระแสเดรนจะมีค่าลดลง ดังนั้นการทำงานของมอสเฟตจึงไม่มีเหตุเกิดขึ้น เนื่องจากการเพิ่มหนีของอุณหภูมิ (Thermal runaway)

6. เพิ่มกำลังได้

สามารถเพิ่มกำลังของสวิทซ์ได้โดยการนำมอสเฟตมาต่อขนานกันได้หลายๆตัว อย่างไรก็ตาม มอสเฟตกำลังก็มีข้อเสียเช่นกันคือ ค่า $r_{DS(on)}$ ในมอสเฟตกำลังสูงกว่าในทรานซิสเตอร์ชนิดไบโพลาร์ ดังนั้น การใช้งานที่ความถี่ต่ำซึ่งค่าความสูญเสียขณะนำกระแสในอุปกรณ์สวิทซ์กำลัง เป็นสิ่งสำคัญ จึงไม่ควรใช้มอสเฟตกำลัง

7. ข้อพิจารณาในการใช้เพาเวอร์มอสเฟต

ย่านการทำงานที่ปลอดภัยสามารถบอกได้ 2 วิธี คือ ช่วงไบอัสก้าหน้า SOA อาจหมายถึง SOA โดยทั่วไป หรือ switching SOA หรือเรียกอีกอย่างว่า RBSOA



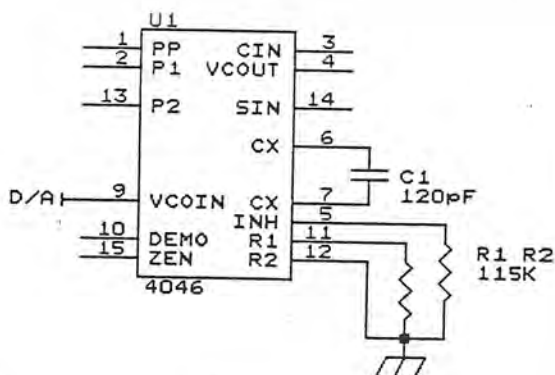
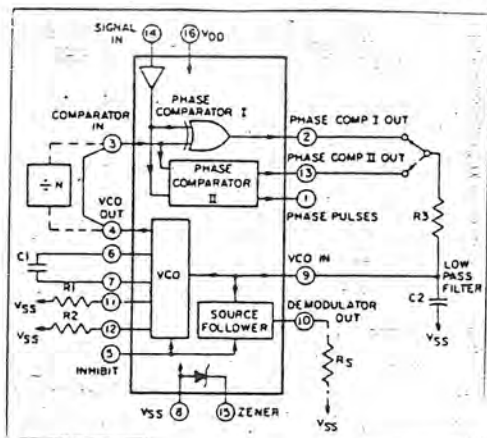
รูปที่ 2.1 ย่านการทำงานปลอดภัยของมอสเฟต

กราฟ FBSOA ระบุถึงแรงดันสูงสุดและกระแสสูงสุดของเดรนที่จะมีได้เพื่อความปลอดภัยในการทำงาน ย่านความปลอดภัยถูกจำกัดค่าตัวแปร 4 ค่าคือ แรงดันพิกัดเดรน-ซอร์ส แสดงขอบเขตด้วยขอบ A ถ้าแรงดันเกินกว่าขอบเขต จะทำให้อุปกรณ์พังได้สิ่งที่ต้องระวัง คือแรงดันทรานเซียนของแรงดันเดรน-ซอร์ส ค่ากระแสเดรนสูงสุดระบุเป็นคาบเวลา แสดงด้วยเส้น D อุปกรณ์ไม่ควรจะนำกระแสที่มีช่วงเวลามากกว่าที่พิกัดกำหนด

2.2 ส่วนประกอบของเครื่องเหี่ยวน้ำหนักความร้อน

1. วงจรวีทเอเฟ

หลังจากที่ตัวเอแปลงสัญญาณดิจิทัลเป็นสัญญาณอนาลอกแล้ว จะได้ระดับแรงดันต่างๆกันไปขึ้นอยู่กับข้อมูลที่ออกมาจาก ไมโครโปรเซสเซอร์ Z-80 ดังนั้น วงจรวีทเอเฟจะเป็นส่วนสำคัญที่จะแปลงระดับแรงดันเหล่านี้ให้เป็นความถี่ที่ต้องการ โครงการนี้ได้เลือกใช้ ไอซี 4046 ซึ่งเป็นเฟสล็อกคัลป์ แต่เรานำเฉพาะส่วน VCO มาใช้ดังรูปที่ 2.2 โดยต่อเป็นวงจรงดังรูปที่ 2.3



เอกสารนี้เป็นเอกสารที่สงวนไว้สำหรับงานเพื่อการศึกษาเท่านั้น ไม่นุญาตให้นำไปใช้ประโยชน์ด้านการค้า
รูปที่ 2.2 และ 2.3
ไม่ว่ากรณีใดๆทั้งสิ้น อีกทั้งห้ามมิให้ดัดแปลงเนื้อหา และต้องอ้างอิงถึงเจ้าของเอกสารทุกครั้งที่มีการนำไปใช้

C_1 จะเป็นตัวสำคัญในการกำหนดความถี่ของวงจรถับระดับแรงดันหนึ่งๆ เนื่องจากมักจะเป็นตัวออสซิลเลทความถี่ พิจารณา R_1 และ C_1 ร่วมกันจะมีผลต่อการกำหนดช่วงความถี่ที่ใช้งานและ R_2 เป็นตัวกำหนดความถี่ออฟเซตที่ต้องการ ซึ่งการกำหนดค่า C_1 , R_1 และ R_2 มีความสำคัญมากเนื่องจากว่าจะเป็นการกำหนดช่วงความถี่ใช้งานที่เหมาะสม

จากรูป 5(a) f_0 คือความถี่ที่แรงดัน $V_{DD}/2$

αf_1 คือช่วงของความถี่ ซึ่งหาได้จาก $f_{max} - f_{min}$

ถ้าหากเรารู้ค่า f_0 และ αf_1 แล้ว เราจะสามารถนำมากำหนดค่าของ C_1, R_1 และ R_2 ได้ดังนี้

หา f_{min} จาก $f_0 - f_1$

นำค่า f_{min} ไปเปิดกราฟรูป 5(b) เพื่อหาค่า R_1 และ C_1

คำนวณค่า f_{max}/f_{min} จากสมการ

นำค่า f_{max}/f_{min} ไปเปิดตาราง 5(c) เพื่อหาอัตราส่วน R_1/R_2 จากนั้น

จะได้ค่า R_1 ออกมา

เมื่อเราได้ค่า C_1, R_1 และ R_2 ออกมาแล้วเราก็จะได้ช่วงของความถี่ที่เราต้องการ

ซึ่งกราฟ 5(a-c) อยู่ในหน้าถัดไป

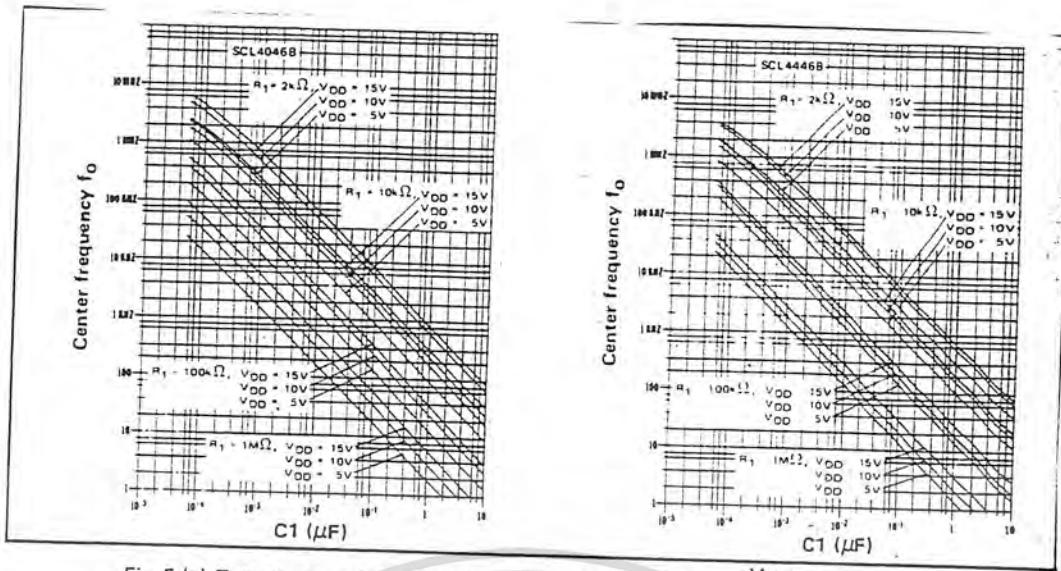


Fig. 5 (a) Typical center frequency (f_0) vs C_1 ($R_2 = \infty$, $V_{COIN} = \frac{V_{DD}}{2}$, $T_A = 25^\circ\text{C}$)

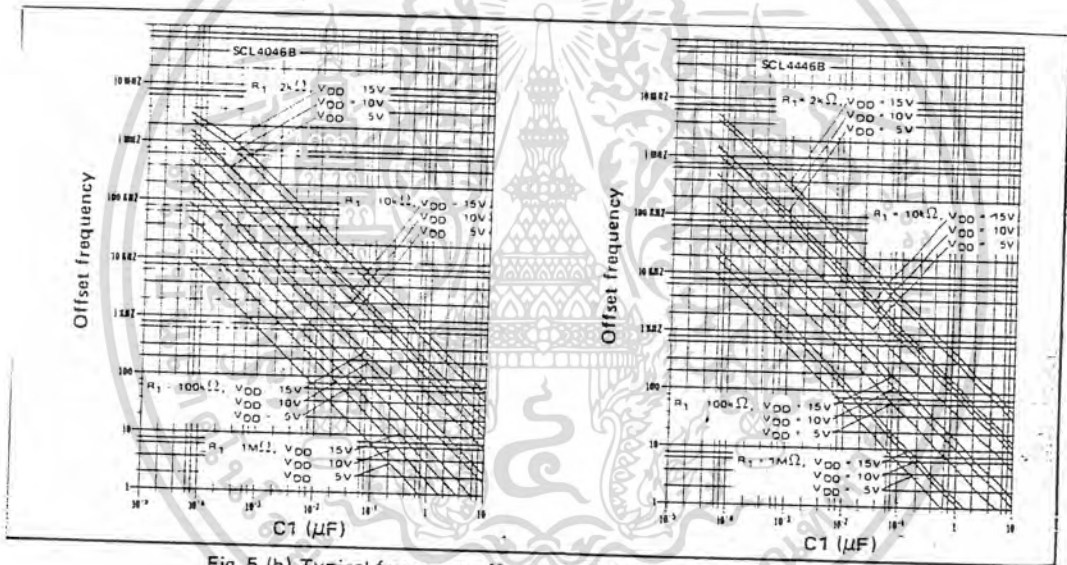


Fig. 5 (b) Typical frequency offset vs C_1 ($V_{COIN} = V_{SS}$, $T_A = 25^\circ\text{C}$)

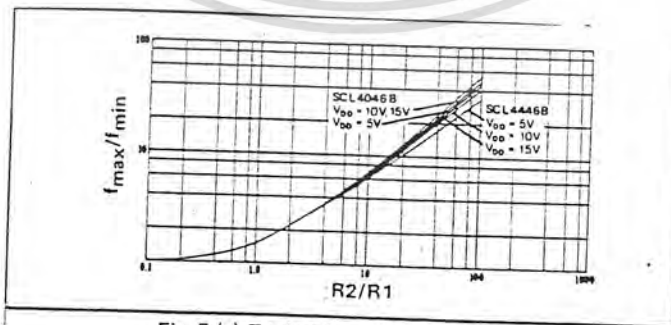
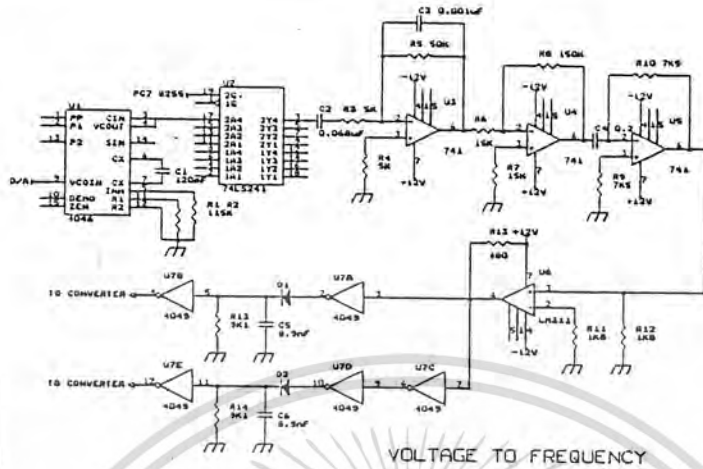


Fig. 5 (c) Typical f_{\max}/f_{\min} vs R_2/R_1

เอกสารนี้เป็นเอกสารที่สงวนไว้สำหรับการใช้งานเพื่อการศึกษาเท่านั้น ไม่อนุญาตให้นำไปใช้ประโยชน์ด้านการค้า
 รูปที่ 2.4 กราฟค่า R_1, R_2, C_1
 ไม่ว่าจะพิมพ์กี่ครั้ง อีกทั้งห้ามมิให้ดัดแปลงเนื้อหา และต้องอ้างอิงถึงเจ้าของเอกสารทุกครั้งที่มีการนำไปใช้

วงจรวีทเฟสที่ใช้ในโครงการงาน

วงจรรูปที่ 2.5 จะเป็นวงจรวีทใช้งานจริงซึ่งมีส่วนต่างๆดังนี้



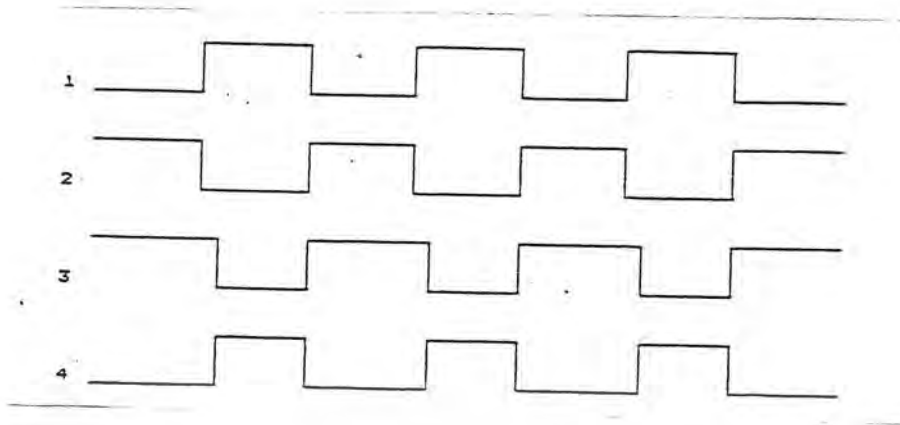
รูปที่ 2.5

ส่วนสร้าง Square wave ซึ่งสร้างจาก 4046 เมื่อได้สัญญาณแล้วจะผ่านไอซี 74LS241 ซึ่ง Z-80 จะนำไปใช้ในการควบคุมให้จ่ายพัลส์ออกไปหรือหยุดจ่ายพัลส์ออกไป หลังจากนั้นก็จะนำสัญญาณมาอินทรีเกรตในไอซี 741 ทั้ง 2 ตัวแรกจะได้สัญญาณสามเหลี่ยมออกมาจากนั้นก็ขยายโดย 741 ตัวต่อมาแล้วผ่านเข้าวงจรเปรียบต่อมาคือ LMS11 หลังจากนั้นเอาที่พทที่ได้จะนำไปเข้าวงจรขจัดเนื้อพัลส์ต่อไป

2. วงจรขจัดเนื้อพัลส์

วงจรมีหน้าที่ตัดขนาดความกว้างของพัลส์ให้เล็กลงเล็กน้อย เพื่อป้องกันการลัดวงจรในระหว่างมอสเฟตในแนวตั้งเดียวกัน เนื่องจากในทางปฏิบัติแล้วมอสเฟตจะมีเวลาหน่วงเนื่องจากการสวิทช์ซึ่งอยู่ค่าหนึ่ง ซึ่งเมื่อพิจารณาในด้านการใช้งานให้ปลอดภัยแล้วก็จะจำเป็นอย่างมากแต่อย่างไรก็ตามการพิจารณาขนาดพัลส์ที่ตัดออกนั้น จะขึ้นอยู่กับว่าเอาที่พทของวงจรมินิเวอเตอร์จะยังคงเป็นรูปสัญญาณแบบ 2 ระดับอีกด้วย

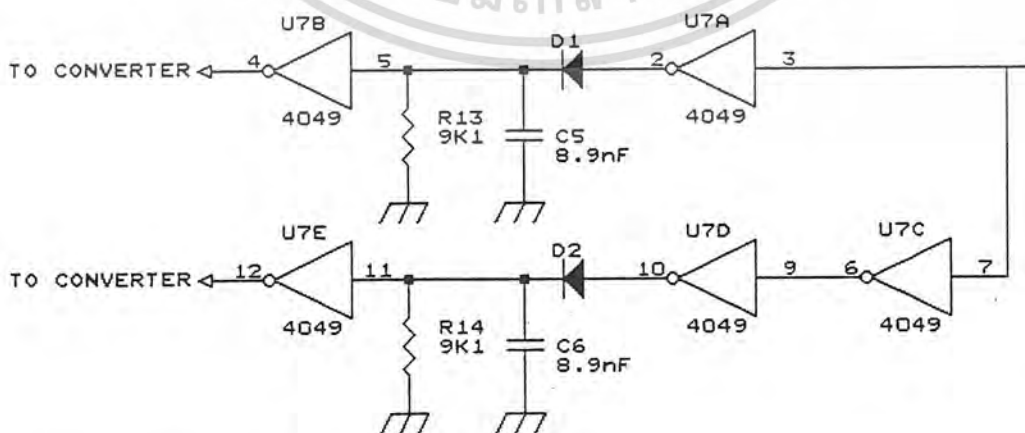
การทำงานของวงจรมีหลักการของการอัดและคายประจุของตัวเก็บประจุ แล้วนำช่วงเวลามากกระทำทางลอจิก จะได้เอาที่พทเป็นพัลส์ที่เหมือนกับพัลส์ที่เข้าทุกประการ แต่จะแตกต่างที่เนื้อพัลส์บริเวณขอบขาขึ้นของพัลส์ขาเข้าจะถูกตัดออกไปเล็กน้อยดังรูปในหน้าถัดไป



รูปที่ 2.6 รูปสัญญาณก่อนเข้าและออกจากวงจรจัดเนื้อฟิลล์

จากรูปฟิลล์ที่แสดงจะอธิบายหลักการของการจัดเนื้อฟิลล์ได้ คือตัวเก็บประจุจะช่วยทำให้คิกซ์ที่ขาอินพุทของอินเวอร์เตอร์ตัวที่ 2 ยังคงสถานะเป็น HIGH อยู่ได้อีกช่วงเวลาหนึ่งซึ่งช่วงเวลานั้นก็คือช่วงเวลาที่มีเนื้อฟิลล์จะถูกกำจัดออกไปนั่นเอง สำหรับไดโอดทำหน้าที่บล็อกเพื่อให้ตัวเก็บประจุคายประจุให้แก่ตัวต้านทานเท่านั้น ดังนั้นจากหลักการนี้การกำหนดขนาดเนื้อฟิลล์ที่จะถูกกำจัดออกจึงขึ้นอยู่กับขนาดของตัวเก็บประจุนั่นเอง โดยพิจารณาตัวต้านทาน และไอซีที่ใช้เป็นอินเวอร์เตอร์ประกอบด้วย หลังจากสัญญาณผ่านวงจรจัดเนื้อฟิลล์แล้วก็จะถูกขับกระแสโดยทรานซิสเตอร์ 4 ตัวคือเบอร์ 2N3053 และ 2N4037 และส่งไปยังส่วนหม้อแปลง ISOLATE เพื่อแยกส่วน LOW VOLT และ HIGH VOLT ออกจากกัน

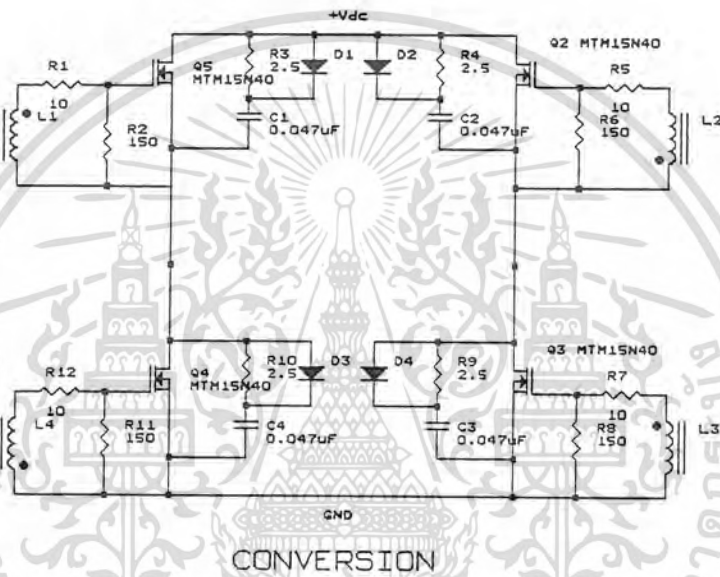
รูปวงจรจัดเนื้อฟิลล์ทั้งหมดจะแสดงดังรูปข้างล่าง



เอกสารนี้เป็นเอกสารที่สงวนไว้สำหรับการใช้งานเพื่อการศึกษาเท่านั้น ไม่อนุญาตให้นำไปใช้ประโยชน์ด้านการค้า ไม่ว่าจะกรณีใดๆทั้งสิ้น อีกทั้งห้ามมิให้ดัดแปลงเนื้อหา และต้องอ้างอิงถึงเจ้าของเอกสารทุกครั้งที่มีการนำไปใช้
รูปที่ 2.7 วงจรจัดเนื้อฟิลล์ (Dead time)

3. ส่วนวงจรคอนเวอร์ชัน

เป็นส่วนทำหน้าที่เปลี่ยนสัญญาณไฟกระแสตรงเป็นสัญญาณไฟกระแสสลับโดยอาศัยอุปกรณ์สวิตช์ซึ่งปิดเปิด ส่วนคอนเวอร์ชันในโครงงานนี้ใช้ INVERTER แบบ FULL BRIDGE ซึ่งใช้อุปกรณ์สวิตช์ซึ่งทั้งหมด 4 ชุด ชุดละ 3 ตัวขนานกัน (POWER MOSFET เบอร์ MIM15N40) ข้อได้เปรียบของ INVERTER แบบนี้คือสามารถให้กำลังงานได้สูง จึงเหมาะสำหรับงานที่ต้องการกำลังงานสูงๆ

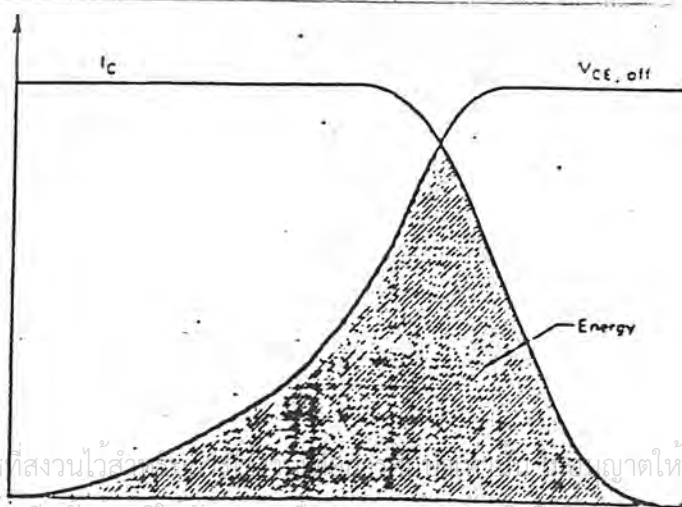


รูปที่ 2.8 แสดงส่วนคอนเวอร์ชัน

วงจรถับสัญญาณเบเรอร์ (RC Shunt Snubber)

วงจรถับสัญญาณเบเรอร์มีไว้เพื่อลดค่าความสูญเสียที่เกิดขึ้นที่ตัวมอสเฟตกำลัง รูปที่

2.9 และค่าสไปค์ (Spike) โวลท์ที่เฉพาะขณะเริ่มหยุดทำงานโดยวงจรถับสัญญาณเบเรอร์จะลดค่า

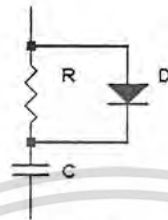


เอกสารนี้เป็นเอกสารที่สงวนไว้สำหรับใช้ภายในเท่านั้น ไม่ควรนำออกไปใช้ประโยชน์ด้านการค้า

ไม่ว่ากรณีใดๆ ผู้สืบ สิทธิทั้งหมดมิให้ตัดแปลงเนื้อหา และต้องอ้างอิงถึงเจ้าของเอกสารทุกครั้งที่มีการนำไปใช้

รูปที่ 2.9 แสดงค่าความสูญเสียที่เกิดขึ้นบนตัวทรานซิสเตอร์ขณะสวิตช์ซึ่ง

การเพิ่มของโวลต์ที่ตกที่เพิ่มขึ้นเมื่อตัวทรานซิสเตอร์กำลังหยุดทำงาน โดยการชาร์จกระแสเข้าที่คาปาซิเตอร์และคายออกผ่านค่าความต้านทานในช่วงที่ทรานซิสเตอร์ทำงาน รูปแบบของวงจรชั้นต้นแบบเบอร์แสดงไว้ดังรูปที่ 2.10



SNUBBER

รูปที่ 2.10 แสดงการต่อชั้นต้นแบบเบอร์

การคำนวณวงจรชั้นต้นแบบเบอร์ทำได้โดยการสมมติให้ค่ากระแสที่ลดลงในช่วงที่ทรานซิสเตอร์หยุดทำงานเป็นเชิงเส้น ดังนั้นค่ากระแสจะแสดงได้ดังสมการ (1)

$$i = I_C (1 - t/t_{\text{off}})$$

$$e = \frac{1}{C} \int_0^{t_{\text{off}}} (I_C - I_C \frac{t}{t_{\text{off}}}) dt$$

$$= \frac{I_C}{C} \int_0^{t_{\text{off}}} (1 - \frac{t}{t_{\text{off}}}) dt$$

$$= \frac{I_C t_{\text{off}}}{2C}$$

ให้ $e = E$ เมื่อ $t = t_{\text{off}}$ เราจะได้ค่าคาปาซิเตอร์ของชั้นเบอร์เท่ากับ

$$C = \frac{I_C t_{\text{off}}}{2E} \quad (3)$$

โดยที่ค่า t_{off} จะเป็นค่าเวลาที่ค่ากระแสที่ตัวทรานซิสเตอร์กำลังได้ลดลงตั้งแต่เริ่มหยุดทำงานและมักจะกำหนดให้เป็นค่าฟอลไทม์ (Fail time) ของกระแสการสวิตซ์ซึ่ง

ค่าความต้านทานของวงจรชั้นต้นแบบเบอร์เป็นตัวกำหนดค่ากระแสที่จะไหลผ่านตัวทรานซิสเตอร์ในช่วงที่ชั้นเบอร์คายกระแสค่าต่ำสุดก็จะเป็นไปได้อีกของค่าความต้านทานสายไม่ว่ากรณีใดๆทั้งสิ้น อีกทั้งห้ามมิให้ตัดแปลงเนื้อหา และต้องอ้างอิงถึงเจ้าของเอกสารทุกครั้งที่มีการนำไปใช้ มารณาได้จากสมการที่ 4

$$R_u > E / (I_M - I_L) \quad (4)$$

โดยที่ค่า I_M เป็นค่าเรทกระแสของตัวทรานซิสเตอร์กำลังและค่า I_L เป็นค่ากระแสที่ไหลผ่านโหลดในช่วงที่ทรานซิสเตอร์เริ่มทำงานและค่าสูงสุดที่ค่า R_u จะเป็นไปได้สามารถหาได้จากช่วงการทำงานต่ำสุดของทรานซิสเตอร์ ($T_{on(min)}$) โดยที่ช่วงการทำงานต่ำสุดของทรานซิสเตอร์จะต้องมีค่าน้อยที่สุดเป็น 3 เท่าของค่าไทม์คอนสแตนท์ (time constant) ซึ่งมีค่าเท่ากับ $R_u \cdot C_u$ เราจะได้

$$T_{on(min)} \geq 3R_u C_u \quad (5)$$

จากสมการ 5 เราจะได้สมการของ R_u คือ

$$R_u < T_{on(min)} / 3C_u \quad (6)$$

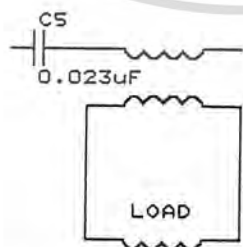
และจากสมการ 5 และ 6 เราจะได้สมการของ R_u คือ

$$E / (I_M - I_L) < R_u < T_{on(min)} / 3C_u \quad (7)$$

ดังนั้นเราสามารถที่จะใช้สมการ 3 และ 4 คำนวณหาค่า R_u และ C_u ในการออกแบบวงจรต้นสับเบอร์ได้

4. ส่วนวงจรโหลด

เป็นส่วนเอาท์พุทของวงจรจะต้องเลือกแกนเฟอร์ไรท์เนื่องจากเมื่อความถี่สูงและขดลวดทึบยลุมมีกระแสไหลสูงมาก ยังมีปัญหาในด้านความสูญเสียในแกนในรูปความร้อน อาจทำให้เกิดความเสียหายขึ้นได้ วิธีแก้ไขของจงทำได้โดยการลดค่าความหนาแน่นของสนามแม่เหล็กลงในวงจรส่วนนี้อาจจะต้องมีการระบายความร้อน อาจจะใช้ น้ำ, น้ำมัน หรืออากาศแล้วแต่ความเหมาะสมของวงจรนั้นๆ ส่วนในโครงการนี้ใช้อากาศเป็นตัวระบายความร้อน



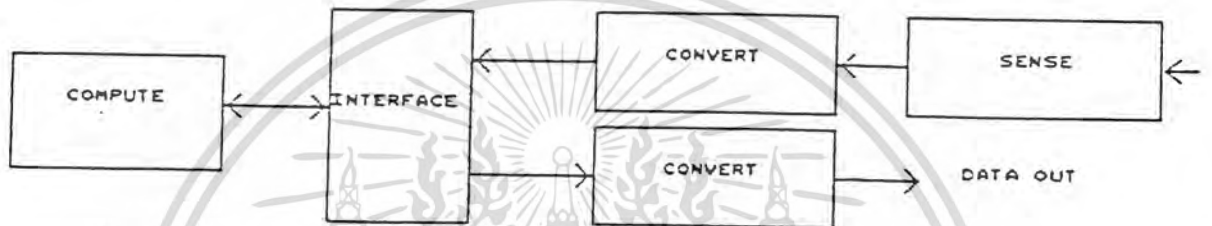
LOAD CIRCUIT

รูปที่ 2.11 แสดงส่วนวงจรโหลด

เอกสารนี้เป็นเอกสารที่สงวนไว้สำหรับการใช้งานเพื่อการศึกษาเท่านั้น ไม่อนุญาตให้นำไปใช้ประโยชน์ด้านการค้า ไม่ว่าจะกรณีใดๆทั้งสิ้น อีกทั้งห้ามมิให้ดัดแปลงเนื้อหา และต้องอ้างอิงถึงเจ้าของเอกสารทุกครั้งที่มีการนำไปใช้

2.3 ส่วนของระบบควบคุม

ในส่วนนี้จะได้กล่าวถึงระบบควบคุมของอินเวอร์เตอร์ซึ่งประกอบด้วย ไมโครโปรเซสเซอร์ Z-80 และวงจรมอเตอร์ โดยจะอธิบายในแง่ของลำดับขั้นตอนการทำงานและอธิบายการทำงานของวงจร การควบคุมอินเวอร์เตอร์ในโครงการนี้ จะแสดงการทำงานคร่าวๆได้ในรูปบล็อกไดอะแกรมต่อไปนี้

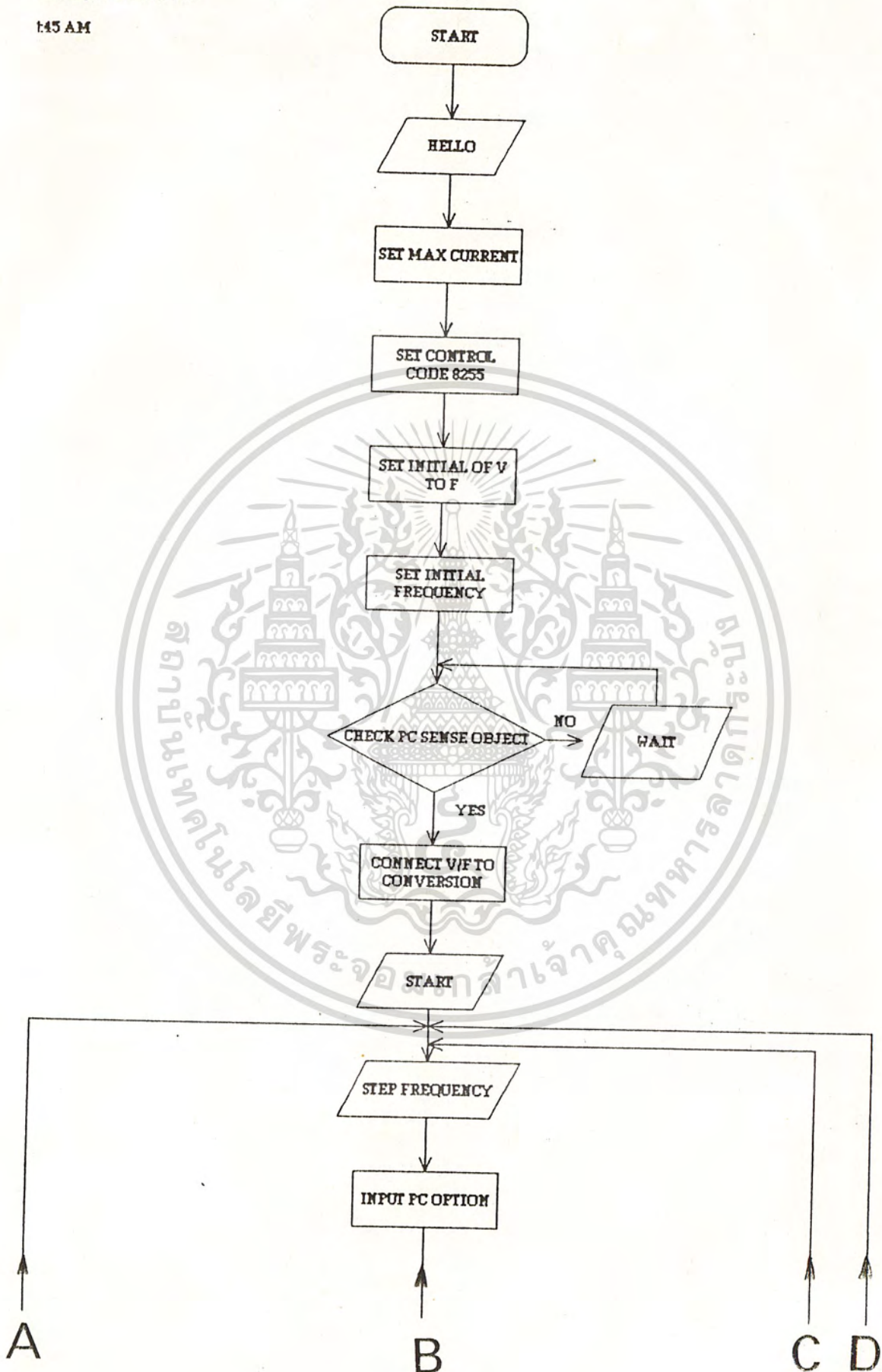


รูปที่ 2.12 แสดง Block diagram

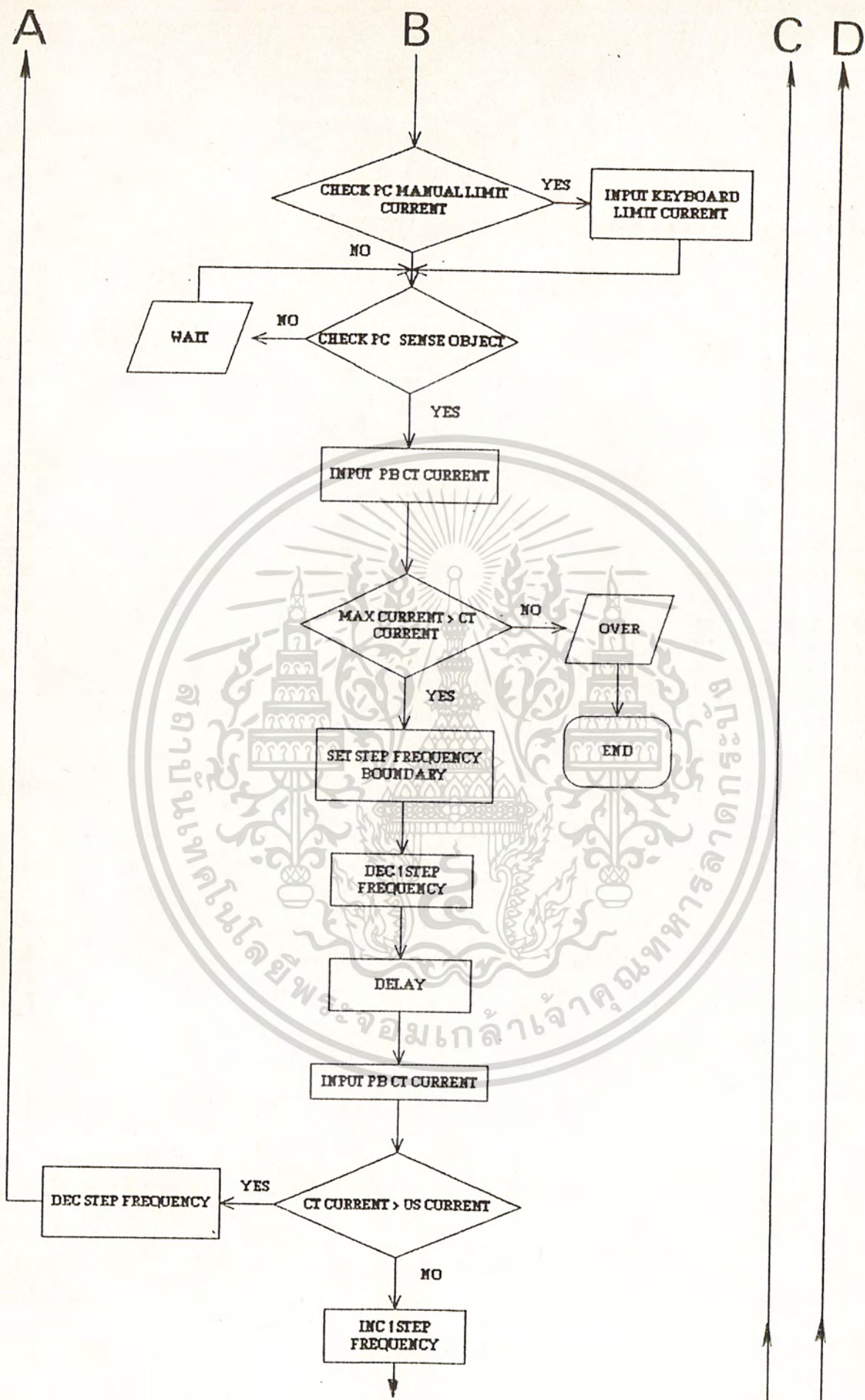
จากรูปจะสรุปการทำงานได้คร่าวๆดังนี้ คือ Z-80 จะต้องติดต่อกับวงจรส่งสัญญาณเข้าและออก เพื่อรับและส่งข้อมูลในการที่จะควบคุมการทำงานของอินเวอร์เตอร์ได้ รายละเอียดของวงจรต่างๆและลำดับขั้นตอนโดยละเอียด จะได้แสดงในหัวข้อต่อไป

1. ลำดับขั้นตอนการทำงาน

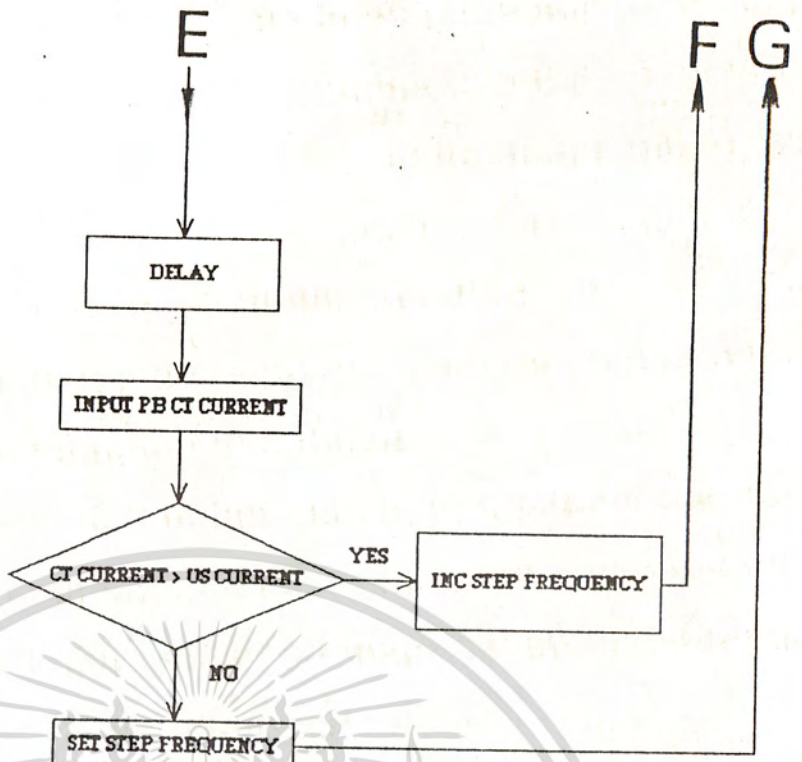
จุดประสงค์ในการใช้ไมโครคอมพิวเตอร์ เพื่อควบคุมการทำงานของมอเตอร์ อินเวอร์เตอร์นี้เพื่อให้อินเวอร์เตอร์สามารถทำงานที่ความถี่เดียวกับความถี่ของวงจรเห็นยวนำได้ ลำดับขั้นตอนการทำงานของ Z-80 แสดงได้ดังรูป Flowchart ต่อไปนี้



เอกสารนี้เป็นเอกสารที่สงวนไว้สำหรับการใช้งานเพื่อการศึกษาเท่านั้น ไม่อนุญาตให้นำไปใช้ประโยชน์ด้านการค้า
ไม่ว่ากรณีใดๆทั้งสิ้น อีกทั้งห้ามมิให้ดัดแปลงเนื้อหา และต้องอ้างอิงถึงเจ้าของเอกสารทุกครั้งที่มีการนำไปใช้



เอกสารนี้เป็นเอกสารที่สงวนไว้สำหรับการใช้งานเพื่อการศึกษาเท่านั้น ไม่อนุญาตให้นำไปใช้ประโยชน์การค้า
 ไม่ว่าจะกรณีใดๆทั้งสิ้น อีกทั้งห้ามมิให้ดัดแปลงเนื้อหา และต้องอ้างอิงถึงเจ้าของเอกสารทุกครั้งที่มีการนำไปใช้



เอกสารนี้เป็นเอกสารที่สงวนไว้สำหรับการใช้งานเพื่อการศึกษาเท่านั้น ไม่อนุญาตให้นำไปใช้ประโยชน์ด้านการค้า
 ไม่ว่ากรณีใดๆทั้งสิ้น อีกทั้งห้ามมิให้ดัดแปลงเนื้อหา และต้องอ้างอิงถึงเจ้าของเอกสารทุกครั้งที่มีการนำไปใช้

จาก flowchart ดังกล่าว สามารถอธิบายในรายละเอียดได้ดังนี้

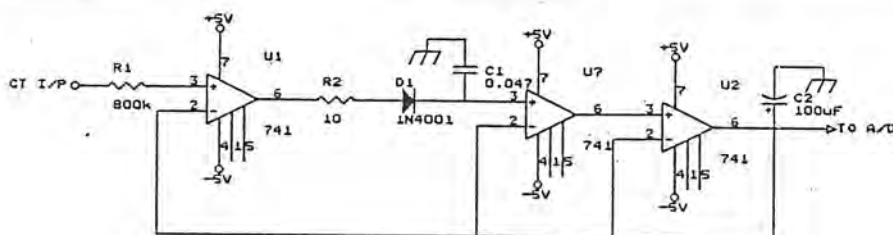
ในส่วนแรกๆจะเป็นการกำหนดสถานะเริ่มต้นใช้งานต่างๆ โดยมีการตรวจเช็คชิ้นงานก่อนเริ่มต้นการทำงานในส่วน Drive ของวงจร Conversion

ในส่วน loop การทำงานจะเริ่มจากการ Check ว่าผู้ใช้งานต้องการกำหนดกระแสสูงสุดของเครื่องเองหรือไม่ ถ้ามีก็จะหยุดการทำงานไปรอรับค่า นำค่าที่ได้มาเก็บไว้ที่ Address ใช้งานต่อไป นอกจากนี้ยัง check ต่อด้วยว่าชิ้นงานยังอยู่ใน Induced Coil หรือไม่ ถ้าไม่หยุดการทำงานชั่วคราว รอจนกว่าผู้ใช้งานจะต้องการทำงานต่อไป หลังจากนั้นก็จะทำการเปรียบเทียบค่ากระแสใช้งานกับกระแสสูงสุดเครื่อง ถ้ามากกว่าก็จะหยุดการทำงานของส่วน Conversion ทันที ในส่วนสุดท้ายเป็นส่วนหากระแสสูงสุด โดยเริ่มจากการลดค่า Frequency ลง 1 step นำค่ากระแสจาก current transformer มาเปรียบเทียบกับกระแสใช้งานของเครื่อง ถ้าสูงกว่าก็แสดง Frequency ที่ลดลง 1 step ให้กระแสที่มากกว่าก็จะทำการลดค่า step frequency ใน Address ที่เก็บตาม แล้วกลับไปวน Loop เริ่มต้น แต่ถ้ากระแสที่ได้ไม่มากกว่าก็จะไปเพิ่มค่า step frequency 1 step นำกระแสมาเปรียบเทียบในทำนองเดียวกันกับส่วนลด frequency แต่ถ้ากระแสที่ได้ยังไม่มากกว่าอีก ก็ให้คงค่า step frequency เดิมไว้ วนกลับ loop ซ้ำ

2. วงจรตรวจจับขนาดขอตสัญญาณ

วงจรนี้ใช้ในการตรวจจับขนาดขอตของสัญญาณกระแสที่ออกมาจากด้านทุติยภูมิของหม้อแปลงกระแส เพื่อส่งให้กับวงจรเอตดีให้ส่งข้อมูลเข้า Z-80 นำไปประมวลผลต่อไป การทำงานของวงจรนี้จะต้องสามารถส่งค่าแรงดันไฟตรงที่มีขนาดเท่ากับขอตของสัญญาณกระแส ซึ่งเป็นไฟสลับได้ตลอดเวลาที่สัญญาณกระแสเกิดการเปลี่ยนแปลง

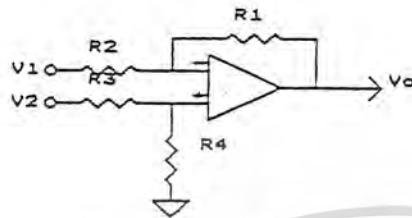
หลักการทำงานของวงจรนี้จะใช้หลักการอัดและคายประจุ ของตัวเก็บประจุซึ่งจะพิจารณาได้จากรูปต่อไปนี้



เอกสารนี้เป็นเอกสารที่สงวนไว้สำหรับการใช้งานเพื่อการศึกษาเท่านั้น ไม่อนุญาตให้นำไปใช้ประโยชน์ด้านการค้า

ไม่ว่ากรณีใดๆทั้งสิ้น อีกทั้งห้ามมิให้ดัดแปลงเนื้อหา และต้องอ้างอิงถึงเจ้าของเอกสารทุกครั้งที่มีการนำไปใช้

จากรูปตัวไอซีเบอร์ 741 ตัวที่ 1 จะตรวจเช็คสัญญาณที่เข้า ไอซีตัวนี้ถูกต่อแบบ differential amplifier ซึ่งหลักการและวิธีการต่อวงจรแบบนี้โดยใช้อุปกรณ์ต่างๆไปจะแสดงดังรูป 2.14



DIFFERENTIAL AMPLIFIER

$$V_o = V_1 - V_2 \quad : R_1=R_2=R_3=R_4$$

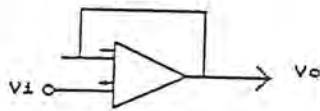
$$V_o = -(R_1/R_2)V_1 - (1+(R_1/R_2))(R_3/(R_3+R_4)) V_2$$

รูปที่ 2.14 differential amplifier

เมื่อเปรียบเทียบกับรูป 2.13 กับรูป 2.14 แล้วพบว่าในกรณีของไอซี 741 ตัวที่ 1 นี้จะไม่ต่อค่า R_1, R_2, R_3, R_4 แต่เนื่องจากวงจรภายในของออปแอมป์เอง จะมีค่าความต้านทานภายในตัวเองอยู่แล้ว นอกจากนี้ยังประมาณให้ค่าความต้านทานของสายที่ส่งสัญญาณเข้าไอซีมีค่าน้อยมาก จนทำให้สมการที่ 2 ของรูป 2.14 เป็นจริง นั่นคือจะได้ $V_2 - V_1 = V_o$ ซึ่งเป็นการนำสัญญาณเอาท์พุทมาเปรียบเทียบกับสัญญาณอินพุทนั่นเอง ทำให้เมื่อสัญญาณอินพุทมีค่าเพิ่มขึ้นเรื่อยๆก็จะทำให้สัญญาณที่เอาท์พุทมีค่าเป็นบวก และเป็นค่าผลต่างที่มากขึ้นด้วย จากหลักการดังกล่าวนี้ จะทำให้สามารถพิจารณาการทำงานของวงจรได้ดังนี้

เนื่องจากวงจรนี้ได้รับสัญญาณจากหม้อแปลงกระแส ซึ่งเป็นสัญญาณรูปไซน์ สัญญาณนี้จะถูกตรวจจับและลุ่มค่า (Sample and hold) ไอซี 741 ตัวที่ 1 เมื่ออยู่ในช่วงอัตราการเปลี่ยนแปลงของคักดาเป็นบวก ของรูปสัญญาณซิกบวค ค่าที่ลุ่มออกมาได้จะเพิ่มขึ้นเรื่อยๆซึ่งค่าเหล่านี้จะแสดงออกที่เอาท์พุทขา 6 ของไอซีตัวนี้ จะไปทำให้เกิดการอัดประจุของตัวเก็บประจุโดยผ่านไดโอดได้ ตัวเก็บประจุจะคงค่าคักดาที่เกิดขึ้นไว้ ช่วงต่อมาที่เหลือทั้งหมดของคาบของรูปสัญญาณ ตัวเก็บประจุจะไม่สามารถคายประจุได้เนื่องจากคาบเวลาของรูปสัญญาณที่เข้านี้ มีค่าน้อยมากนั่นเอง จากหลักการดังกล่าวนี้ก็จะทำให้วงจรสามารถตามยอดสัญญาณที่เข้าได้ ส่วนไอซีตัวที่ 2 จะต่อแบบ Voltage follower ซึ่งจะทำหน้าที่เป็นบัฟเฟอร์ขยายวงจร สามารถส่งสัญญาณเข้า Z-80 ได้ หลักการและวิธีการต่อวงจร Voltage follower โดยใช้อุปกรณ์ต่างๆไปได้แสดงดัง

เอกสารนี้เป็นเอกสารที่สงวนไว้สำหรับการใช้งานเพื่อการศึกษาเท่านั้น ไม่นุญาตให้นำไปใช้ประโยชน์ด้านการค้า ไม่ว่ากรณีใดๆทั้งสิ้น อีกทั้งห้ามมิให้ดัดแปลงเนื้อหา และต้องอ้างอิงถึงเจ้าของเอกสารทุกครั้งที่มีการนำไปใช้



VOLTAGE FOLLOWER

$$V_0 = V_1$$

รูปที่ 2.15 Voltage follower

จากที่กล่าวมาทั้งหมดก็จะทราบได้ว่า วงจรจะส่งค่าของสัญญาณออกมาได้อย่างไรแต่ในกรณีที่ค่าของสัญญาณลดลงเข้ามา ในช่วงเวลาเอาท์พุทของไอซี เบอร์ 741 จะมีค่าเป็นลบ ในขณะที่คิกคาคร่อมตัวเก็บประจุยังคงเป็นบวกอยู่ ดังนั้นในกรณีนี้จะทำให้ไดโอดถูกบ่อนแรงดันกลับทาง (Reverse bias) ทำให้ไดโอดตัดวงจรออกจากกัน นั่นจะทำให้ตัวเก็บประจุมีโอกาสคายประจุออกมาได้ผ่านออกมาทางไอซีตัวที่ 2 และคิกคาคร่อมตัวเก็บประจุซึ่งจะแสดงที่เอาท์พุทของไอซีตัวที่ 2 และเป็นเอาท์พุทของวงจรอยู่แล้ว ก็จะลดลงตามที่ตัวเก็บประจุคายประจุออกมา ตัวเก็บประจุจะคายประจุจนกระทั่งคิกคาคร่อมมีค่าน้อย จนทำให้ไดโอดถูกบ่อนแรงดันไปข้างหน้า (Forward bias) และตัวเก็บประจุถูกอัดประจุอีกครั้ง ซึ่งก็จะเป็นดังที่อธิบายในตอนแรก นั่นคือจะทำให้วงจรเปลี่ยนค่าตามการเปลี่ยนแปลงของสัญญาณได้ และคงค่าได้ในขณะไม่มีการเปลี่ยนแปลง ซึ่งค่านี้จะถูกบ่อนให้วงจรเอาท์พุทต่อไป

3. วงจร A/D

วงจร A/D เป็นวงจรที่ใช้แปลงสัญญาณอนาล็อกให้เป็นสัญญาณดิจิตอล ในโครงงานนี้ใช้เพื่อแปลงข้อมูลค่ากระแส ในการป้อนกลับให้ Z-80 วงจร A/D จะประกอบด้วย A/D และ วงจรสร้างคิกคาอ้างอิง

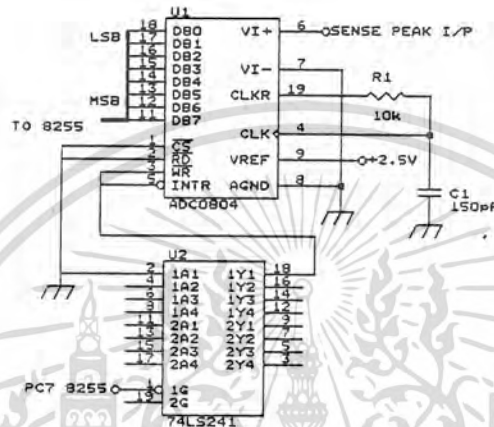
A/D ที่ใช้ในวงจรจะใช้ไอซีเบอร์ ADC0804 ซึ่งเป็น A/D แบบ Successive approximation ที่มีข้อมูลออกเป็น 8 bit และช่วงของคิกคาที่ป้อนเข้าระหว่าง 0-5 โวลท์ ทำงานที่แรงดันอ้างอิง 2.5 โวลท์ และใช้เวลาในการแปลงค่า 100 ns ซึ่งรายละเอียดของ A/D สามารถดูได้จาก Data book

เนื่องจาก A/D ส่งข้อมูลเป็นระบบ 8 bit ทำให้สามารถส่งข้อมูลออกได้แตกต่างกัน 256 ค่าหรือจะแบ่งข้อมูลเข้าออกเป็น 256 ระดับ

ในกรณีของเอาท์พุทที่ใช้ในโครงงานนี้ ข้อมูลแต่ละระดับจะแตกต่างกัน 0.0195 โวลท์ เมื่อพิจารณาจากรูป และจากการทำงานของวงจรตรวจจับขนาดของสัญญาณ จะพบว่าข้อมูลแต่ละระดับที่เอาท์พุทออกมา จะหมายถึงกระแสในวงจรเห็นยวหน้าความรื้อนที่แตกต่างกัน

$$= ((5-0)/\sqrt{2})/256 = 0.0138016 \text{ แอมป์}$$

ซึ่งในการกำหนดช่วงของกระแสจะทำให้ข้อมูลแตกต่างกันในแต่ละระดับ ดังที่แสดงดังข้างต้นนี้ขึ้นกับปัจจัยหลายๆอย่างคือ ความสามารถของอุปกรณ์แปลงสัญญาณ (A/D, D/A) ช่วงของสัญญาณที่เปลี่ยนแปลงจริงในวงจรกำลัง การต้องการความละเอียดในการทำงานของ ครงงาน



ANALOG TO DIGITAL CONVERTER

รูปที่ 2.16 วงจรเอทดี

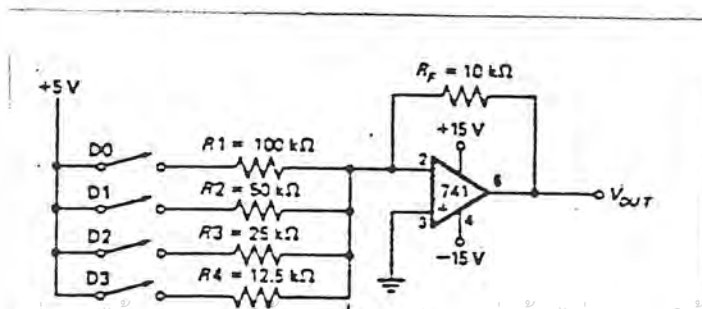
4. วงจรดีทีเอ

วงจรดีทีเอคือวงจรที่ใช้แปลงสัญญาณดิจิทัลเป็นสัญญาณอนาล็อกซึ่งต่อเชื่อมกับคอมพิวเตอร์เพื่อรับข้อมูลหลังการประมวลผลว่าต้องการให้อินเวอร์เตอร์ทำงานที่ความถี่เท่าไร

วงจรดีทีเอแบบต่างๆ

แบบที่ 1 แบบใช้ตัวต้านทานหลายค่า

วงจรแปลงสัญญาณดีทีเอชนิดนี้ใช้ตัวต้านทานต่างๆและออปแอมป์เพื่อแปลงสัญญาณลอจิก 2 ระดับเป็นแรงดันที่ได้สัดส่วนกันรูปที่ แสดงวงจรแปลงสัญญาณดิจิทัลขนาด 4 บิต



เอกสารนี้เป็นเอกสารที่สงวนไว้สำหรับการใช้งานเพื่อการศึกษาเท่านั้น ไม่อนุญาตให้นำไปใช้ประโยชน์ด้านการค้า

ไม่ว่ากรณีใดๆทั้งสิ้น อีกทั้งห้ามมิให้ดัดแปลงเนื้อหา และต้องอ้างอิงถึงเจ้าของเอกสารทุกครั้งที่มีการนำไปใช้

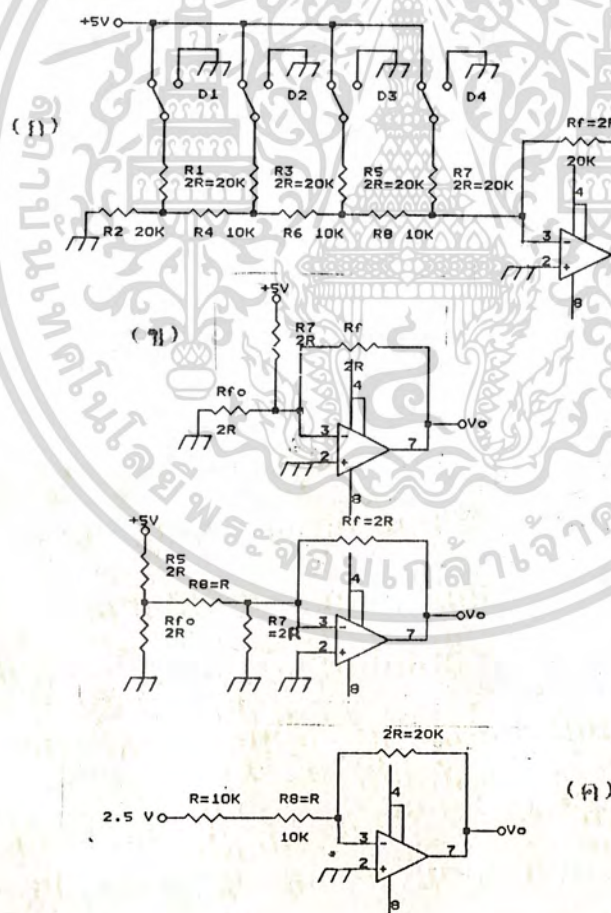
รูปที่ 2.17 วงจรดีทีเอใช้ตัวต้านทานหลายค่า

ขณะที่สวิตช์ D_0 ปิดจะมีแรงดันตกคร่อม R_1 5 โวลต์ ทำให้กระแสไหลเท่ากับ 0.05 แอมป์ ดังนั้นเอาต์พุตจึงมีค่าเท่ากับ $-0.05 \times 10K = -0.5$ โวลต์ เมื่อปิดสวิตช์ D_1 จะมีแรงดันตกคร่อม R_2 เท่ากับ 0.1 แอมป์ ทำให้กระแสรวมที่ไหลผ่าน $R_f = 0.05 + 0.1 = 0.15$ แอมป์ ดังนั้นเอาต์พุตจึงเป็น $-0.15 \times 10K = -1.5$ โวลต์

เมื่อเปิดสวิตช์ D_0-D_3 ต่างกันนั้นก็จะได้แรงดันที่ต่างกันออกไปโดยมีลักษณะเป็นขั้นบันได

แบบที่ 2 ใช้ความต้านทาน 2 ค่า (R/2R Ladder D/A Converter)

เนื่องจาก ไอซีที่เข้ามามีโครงงานนี้ใช้หลักการนี้ ดังนั้นจะขอกล่าวโดยละเอียด ดังนี้ เรื่อง วงจรที่ดูแล้วมีขนาดมากกว่า 4 บิต วงจรตามรูปที่ 2.17 จะเกิดปัญหาเนื่องจากต้องการค่าความต้านทานที่มีช่วงกว้างมากวิธีที่ใช้หลักการ เบนารี เวค เหมือนกัน แต่ใช้ความต้านทานเพียง 2 ค่าแสดงในรูปที่ 2.18 ซึ่งกระแสจะถูก เปลี่ยนค่าแรงดันโดยออปแอมป์และค่าความต้านทานป้อนกลับ R_f เหมือนวงจรรูปที่ 2.17 วิธีนี้เรียกว่าการใช้ความต้านทาน 2 ค่า



รูปที่ 2.18 วงจรที่เอาต์พุตใช้ความต้านทานสองค่า

สิ่งแรกที่ต้องพิจารณาคือหลักการของความต้านทาน 2 ค่า ดูไปที่คล้ายกับกฎของ เคียร์โฮฟเพียงแต่ว่าค่า

ความต้านทานที่เข้า เป็นอัตราส่วนที่ทำให้คำนวณได้ง่าย แรกเลยสมมติว่าสวิตช์ D_3 ซึ่งเป็นสวิตช์

เอกสารนี้เป็นเอกสารที่สงวนไว้สำหรับการใช้งานเพื่อการศึกษาเท่านั้น เมื่อผู้จัดทำเข้าไปใช้ประโยชน์ด้านการศึกษา

ไม่ว่ากรณีใดๆทั้งสิ้น อีกทั้งห้ามมิให้ดัดแปลงเนื้อหา และต้องอ้างอิงถึงเจ้าของเอกสารทุกครั้งที่มีการนำไปใช้

ในบิตที่มีนัยสำคัญสูงสุดนั้นต่อกับแรงดันอ้างอิง 5 โวลต์ ในขณะที่สวิตช์ตัวอื่นปิดลงกราวด์ ดังนั้น R_1 และ R_2 จึงต่อขนานกันลงกราวด์ สังเกตตัวต้านทาน $2R$ ต่อขนานกับ $2R$ อีกตัวหนึ่ง จึงมีค่าเท่ากับ R ค่า R นี้จะถูกบวกกับ R_4 กลายเป็นค่า $2R$ แล้วขนานกันกับ R_3 ลงกราวด์ การรวมของ R_3 และตัวต้านทานก่อนหน้าจึงทำให้เหลือค่าเพียงค่า R ต่ออนุกรมกับ R_5 พิจารณาเช่นเดียวกันกับวงจรส่วนที่เหลือก็จะได้เป็นวงจรที่ง่ายขึ้น ดังรูปที่ 2.18 ข.

โดยเหตุที่กราวด์เทียบของออปแอมป์มีแรงดัน 0 โวลต์ ทำให้ไม่มีกระแสไหลผ่านค่าความต้านทานเหล่านี้ลงกราวด์จึงไม่ต้องสนใจส่วนนี้ ดังนั้น แรงดัน 5 โวลต์ ที่ปลายข้างหนึ่งของ R_7 ค่า 20 กิโลโอห์ม ทำให้มีกระแส 0.25 มิลลิแอมป์ ผ่านที่จุดต่อและผ่าน R_6 20 กิโลโอห์ม แรงดันเอาต์พุตที่ได้จากบิตที่มีนัยสำคัญสูงสุดจึงมีค่า -5 โวลต์

แรงดันที่ได้จากบิตที่มีนัยสำคัญรองลงมาก็หาได้โดยปิดสวิตช์ D_2 ไปยัง +5 โวลต์ และ D_3 ลงกราวด์ ตัวต้านทานทั้งหมดที่อยู่ทางซ้ายของ R_5 ในรูปที่ 2.18 ก. ลดรูปเหลือเพียง $2R$ ต่อลงกราวด์การวิเคราะห์วงจรสามารถนำทฤษฎีของเทวินินมาใช้ได้โดยมีการแบ่งแรงดันระหว่าง R_5 และ $2R$ ที่ต่อลงกราวด์ดังรูป 2.18 ค. แรงดันเทวินินคือแรงดันที่รอยต่อหรือ 2.5 โวลต์ ตัวต้านทานเทวินินมีค่าเท่ากับตัวต้านทาน 2 ตัวต่อขนานกัน (หรือ R) อุปกรณ์ที่อยู่ทางด้านซ้ายของ R_5 สามารถลดรูปได้เหลือค่า R ต่อกับ 2.5 โวลต์ สามารถสละทิ้ง R_7 ได้ เพราะจุดปลายทั้งสองค่าต่อลงกราวด์ ค่าความต้านทานรวมระหว่างที่จุดรวม (จุดกราวด์เทียบ) และแรงดันเทวินินคือ $2R$ หรือ 20 กิโลโอห์ม ทำให้เกิดแรงดันเอาต์พุต -2.5 โวลต์ (สำหรับบิตที่มีนัยสำคัญถัดมา)

ด้วยการวิเคราะห์ในทำนองเดียวกันนี้ สามารถหาแรงดันเอาต์พุตที่บิดต่ำลงมาอีกได้ 1.25 โวลต์ต่ำสุดได้ 0.625 โวลต์ ในขณะที่ค่าดิจิทัลสูงสุด (สวิตช์ทุกตัวต่อไปที่ +5 โวลต์) ได้เอาต์พุตเต็มสเกลคือ 9.375 โวลต์

แม้ว่าดีทูเอ คอนเวอร์เตอร์แบบ $R/2R$ แลตเตอร์ จะวิเคราะห์ยากกว่าแบบใช้ตัวต้านทานหลายค่า (Weighted resistor) แต่จะง่ายกว่าสำหรับการต่อวงจรให้ถูกต้อง เพราะใช้ค่าความต้านทานเพียง 2 ค่าเท่านั้น จำนวนบิตก็เพิ่มได้โดยเพิ่มส่วนของ $R/2R$ ลงไป วงจรนับ 4 บิตที่เป็น TTL หรือ CMOS อาจนำมาต่อแทนตำแหน่งของสวิตช์ในวงจรรูป 2.18 ก. เพื่อแรงดันเอาต์พุตเป็นขั้นบันไดได้

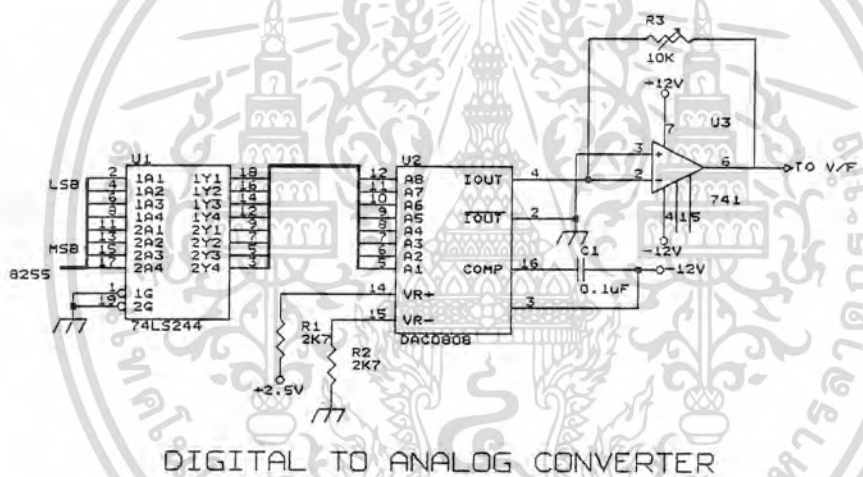
แบบใช้ไอซี

ซึ่งโครงงานนี้เลือกใช้ไอซีเบอร์ DAC0808 มาใช้ในการทำงานซึ่งมีหลักการทำงานแบบ $R/2R$ แลตเตอร์ดังที่ได้กล่าวไปแล้ว งานเพื่อการศึกษาเท่านั้น ไม่อนุญาตให้นำไปใช้ประโยชน์ด้านการค้า
ไม่ว่าใน DAC0808 $R/2R$ แลตเตอร์ แบ่งกระแสที่ได้จากภาคขยายเป็น 8 ระดับ ขึ้นอยู่

กับค่าทางเลขฐานสอง (binary) ทราานซิสเตอร์แบบไบโพลาร์จะสวิทซ์ให้กระแสที่ได้ สอดคล้องกับอินพุต A_1 ถึง A_8 การเรียงจากบิตที่มีนัยสำคัญสูงสุดถึงบิตที่มีนัยสำคัญต่ำสุดจะกลับกันกับของวงจรนับทั่วไป แต่วงจรเปลี่ยนสัญญาณดิจิตอล เป็นอนาลอกบางตัวก็ จะไม่ได้เรียงอย่างนี้ ดังนั้นควรอ่านคู่มืออย่างละเอียดถี่ถ้วนเสียก่อน

DAC0808 มีกระแสเอาท์พุทที่สามารถเปลี่ยนเป็นแรงดันได้ด้วยออป-แอมป์และตัวต้านทานดังแสดงดังรูป 2.19

จากค่าที่เลือกไว้ ได้แรงดันเอาท์พุทเต็มสเกล (อินพุต A_1 ถึง A_8 เป็น "1") คือ $2 \text{ โวลต์} * (5 \text{ กิโลโอมห์} / 1 \text{ กิโลโอมห์}) * (255/256)$ ซึ่งเราถือว่าเป็นวงจรเปลี่ยนสัญญาณแบบ 10 โวลต์ เต็มสเกล



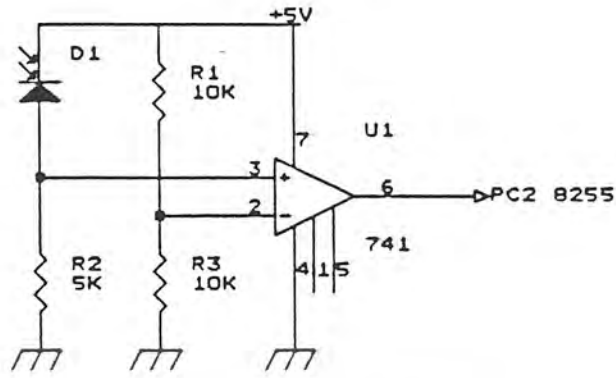
DIGITAL TO ANALOG CONVERTER

รูปที่ 2.19 วงจรดีทีเอ

5. วงจรตรวจจับขึ้นงาน

ใช้คุณสมบัติของ LDR (D1) ซึ่งมีคุณสมบัติที่เมื่อมีแสงมากกระทบมากจะทำให้ ความต้านทานตกคร่อมตัวมันน้อยและในทางกลับกันเมื่อแสงตกกระทบตัวมันน้อยก็จะทำให้ ความต้านทานตกคร่อมตัวมันมาก จากหลักการนี้เราสามารถนำมาใช้ตรวจจับขึ้นงานโดยให้ขึ้นงานเป็นตัวบ่งแสงที่ตกกระทบตัว LDR แล้วใช้วงจร Comparator เป็นตัวแยกว่ามีขึ้น งานเข้ามาในเบ้าหลอมหรือยังถ้ายังโวลต์เตจที่ขา 6 ของ 741 ก็จะถูกอยู่ในสถานะ Low ถ้า มีขึ้นงานเข้ามาแล้วก็จะอยู่ในสถานะ High

เอกสารนี้เป็นเอกสารที่สงวนไว้สำหรับการใช้งานเพื่อการศึกษาเท่านั้น ไม่อนุญาตให้นำไปใช้ประโยชน์ด้านการค้า ไม่ว่าจะกรณีใดๆทั้งสิ้น อีกทั้งห้ามมิให้ดัดแปลงเนื้อหา และต้องอ้างอิงถึงเจ้าของเอกสารทุกครั้งที่มีการนำไปใช้



SENSE OBJECT



เอกสารนี้เป็นเอกสารที่สงวนไว้สำหรับการใช้งานเพื่อการศึกษาเท่านั้น ไม่อนุญาตให้นำไปใช้ประโยชน์ด้านการค้า
ไม่ว่ากรณีใดๆทั้งสิ้น อีกทั้งห้ามมิให้ดัดแปลงเนื้อหา และต้องอ้างอิงถึงเจ้าของเอกสารทุกครั้งที่มีการนำไปใช้

บทที่ 3

การทดลอง

การทดลองที่ 1 การเปรียบเทียบคุณสมบัติของเครื่องเหนี่ยวนำความร้อนแบบมีกับไม่มีระบบควบคุมความถี่

$V_{oc} = 100V$ FREQUENCY = 105 KHz

| เวลา (s) | ไม่มี | | | มี | | |
|-------------|-------|-------|-------|-------|-------|-------|
| | φ 0.8 | φ 1.0 | φ 1.4 | φ 0.8 | φ 1.0 | φ 1.4 |
| | I (A) | I (A) | I (A) | I (A) | I (A) | I (A) |
| 0 | 6.8 | 6.2 | 7.2 | 7.5 | 6.8 | 7.5 |
| 10 | 6.5 | 6.2 | 7.2 | 7.5 | 6.8 | 7.5 |
| 20 | 6.5 | 6.1 | 7.1 | 7.5 | 6.8 | 7.5 |
| 30 | 6.4 | 6.0 | 7.1 | 7.5 | 6.8 | 7.5 |
| 40 | 6.4 | 6.0 | 7.0 | 7.5 | 6.8 | 7.4 |
| 50 | 6.3 | 5.9 | 7.0 | 7.5 | 6.8 | 7.4 |
| 60 | 6.2 | 5.8 | 6.9 | 7.5 | 6.8 | 7.3 |
| 70 | 6.2 | 5.8 | 6.8 | - | 6.8 | 7.3 |
| 80 | 6.1 | 5.7 | 6.8 | - | 6.9 | 7.3 |
| 90 | - | 5.6 | 6.7 | - | 6.9 | 7.3 |
| 100 | - | 5.5 | 6.7 | - | 7.0 | 7.3 |

เอกสารนี้เป็นเอกสารที่สงวนไว้สำหรับกรใช้งานเพื่อการศึกษเท่านั้น ไม่อนุญาตให้เผยแพร่โดยไม่ได้รับอนุญาต
ไม่ว่ากรณีใดๆทั้งสิ้น อีกทั้งห้ามมิให้ดัดแปลงเนื้อหา และต้องอ้างอิงถึงเจ้าของเอกสารทุกครั้งที่มีการนำไปใช้

$V_{dc} = 120 \text{ V}$ FREQUENCY = 95 KHz เหล็ก $\phi 1.0 \text{ cm}$

| เวลา (s) | ไม่มี | | มี | |
|-------------|---------|-------|---------|-------|
| | F (KHz) | I (A) | F (KHz) | I (A) |
| 0 | 95 | 9.0 | 95.0 | 10.2 |
| 10 | 95 | 9.0 | 94.8 | 10.2 |
| 20 | 95 | 8.9 | 94.8 | 10.1 |
| 30 | 95 | 8.8 | 94.8 | 10.1 |
| 40 | 95 | 8.6 | 94.8 | 10.0 |
| 50 | 95 | 8.6 | 94.6 | 10.0 |
| 60 | 95 | 8.5 | 94.6 | 10.0 |
| 70 | 95 | 8.4 | - | - |
| 80 | 95 | 8.4 | - | - |
| 90 | 95 | 8.4 | - | - |
| 100 | 95 | 8.2 | - | - |

เอกสารนี้เป็นเอกสารที่สงวนไว้สำหรับการใช้งานเพื่อการศึกษาเท่านั้น ไม่อนุญาตให้นำไปใช้ประโยชน์ด้านการค้า
ไม่ว่ากรณีใดๆทั้งสิ้น อีกทั้งห้ามมิให้ดัดแปลงเนื้อหา และต้องอ้างอิงถึงเจ้าของเอกสารทุกครั้งที่มีการนำไปใช้

การทดลองที่ 2

การเปรียบเทียบเวลาที่ใช้ในการเหนี่ยวนำระหว่าง
เครื่องเหนี่ยวนำความร้อนแบบมีกับไม่มีระบบควบคุมความถี่

$V_{dc} = 120 \text{ V}$ FREQUENCY = 105 KHz เหล็ก $\phi 1.0 \text{ cm}$

| เวลา (s) | ไม่มี | | มี | |
|-------------|---------|-------|---------|-------|
| | F (KHz) | I (A) | F (KHz) | I (A) |
| 0 | 105 | 7.0 | 105.0 | 7.5 |
| 10 | 105 | 6.8 | 105.2 | 7.5 |
| 20 | 105 | 6.8 | 105.0 | 7.5 |
| 30 | 105 | 6.7 | 104.8 | 7.5 |
| 40 | 105 | 6.5 | 104.6 | 7.5 |
| 50 | 105 | 6.5 | 104.6 | 7.5 |
| 60 | 105 | 6.5 | 104.4 | 7.5 |
| 70 | 105 | 6.5 | - | - |
| 80 | 105 | 6.5 | - | - |
| 90 | 105 | 6.5 | - | - |
| 100 | - | - | - | - |

เอกสารนี้เป็นเอกสารที่สงวนไว้สำหรับการใช้งานเพื่อการศึกษาเท่านั้น ไม่อนุญาตให้นำไปใช้ประโยชน์ด้านการค้า
ไม่ว่ากรณีใดๆทั้งสิ้น อีกทั้งห้ามมิให้ดัดแปลงเนื้อหา และต้องอ้างอิงถึงเจ้าของเอกสารทุกครั้งที่มีการนำไปใช้

$V_{dc} = 120V$ FREQUENCY = 105 KHz

| เวลา (s) | ไม่มี | | | มี | | |
|-------------|------------|------------|------------|------------|------------|------------|
| | ϕ 0.8 | ϕ 1.0 | ϕ 1.4 | ϕ 0.8 | ϕ 1.0 | ϕ 1.4 |
| | I (A) | I (A) | I (A) | I (A) | I (A) | I (A) |
| 0 | 7.8 | 7.0 | 8.0 | 9.0 | 7.5 | 9.2 |
| 10 | 7.5 | 6.8 | 8.0 | 9.0 | 7.5 | 9.2 |
| 20 | 7.2 | 6.8 | 7.9 | 9.0 | 7.5 | 9.2 |
| 30 | 7.1 | 6.7 | 7.8 | 9.0 | 7.5 | 9.3 |
| 40 | 7.0 | 6.5 | 7.8 | 9.0 | 7.5 | 9.2 |
| 50 | 7.0 | 6.5 | 7.6 | - | 7.5 | 9.2 |
| 60 | 6.9 | 6.5 | 7.5 | - | 7.5 | 9.2 |
| 70 | - | 6.5 | 7.4 | - | 7.4 | 9.2 |
| 80 | - | 6.5 | 7.2 | - | - | 9.2 |
| 90 | - | 6.4 | 7.2 | - | - | 9.2 |
| 100 | - | - | 7.0 | - | - | 9.2 |

เอกสารนี้เป็นเอกสารที่สงวนไว้สำหรับการใช้งานเพื่อการศึกษาเท่านั้น ไม่อนุญาตให้นำไปใช้ประโยชน์ด้านการค้า
ไม่ว่ากรณีใดๆทั้งสิ้น อีกทั้งห้ามมิให้ดัดแปลงเนื้อหา และต้องอ้างอิงถึงเจ้าของเอกสารทุกครั้งที่มีการนำไปใช้

การทดลองที่ 3

การเปรียบเทียบความสัมพันธ์ระหว่างความถี่เริ่มต้น
กับเวลาในการเหนี่ยวนำความร้อนของระบบติดตามความถี่

$V_{oc} = 120 \text{ V}$ เหล็ก $\phi 0.8 \text{ cm}$

| เวลา (s) | I (95 KHz) | I (105 KHz) |
|----------|------------|-------------|
| 0 | 12.0 | 9.0 |
| 10 | 12.0 | 9.0 |
| 20 | 12.0 | 9.0 |
| 30 | 11.9 | 9.0 |
| 40 | 11.9 | 9.0 |
| 50 | 12.0 | 9.0 |
| 60 | - | 9.0 |
| 70 | - | 9.0 |
| 80 | - | 9.0 |
| 90 | - | - |
| 100 | - | - |

เอกสารนี้เป็นเอกสารที่สงวนไว้สำหรับการใช้งานเพื่อการศึกษาเท่านั้น ไม่อนุญาตให้นำไปใช้ประโยชน์ด้านการค้า
ไม่ว่ากรณีใดๆทั้งสิ้น อีกทั้งห้ามมิให้ดัดแปลงเนื้อหา และต้องอ้างอิงถึงเจ้าของเอกสารทุกครั้งที่มีการนำไปใช้

$V_{dc} = 120 \text{ V}$ เหล็ก $\phi 1.0 \text{ cm}$

| เวลา (s) | I (95 KHz) | I (105 KHz) |
|----------|------------|-------------|
| 0 | 10.2 | 7.5 |
| 10 | 10.2 | 7.5 |
| 20 | 10.1 | 7.5 |
| 30 | 10.1 | 7.5 |
| 40 | 10.0 | 7.5 |
| 50 | 10.0 | 7.5 |
| 60 | - | 7.5 |
| 70 | - | - |
| 80 | - | - |
| 90 | - | - |
| 100 | - | - |

เอกสารนี้เป็นเอกสารที่สงวนไว้สำหรับการใช้งานเพื่อการศึกษาเท่านั้น ไม่อนุญาตให้นำไปใช้ประโยชน์ด้านการค้า
ไม่ว่ากรณีใดๆทั้งสิ้น อีกทั้งห้ามมิให้ดัดแปลงเนื้อหา และต้องอ้างอิงถึงเจ้าของเอกสารทุกครั้งที่มีการนำไปใช้

ปัญหาที่พบมีดังนี้

1. ปัญหาจากวงจรส่วนตรวจจับสัญญาณ กระแสสูงสุกที่ให้มีสัญญาณรบกวนมาก ทั้งกับ เอชดีจึงว่าให้ค่าที่แน่นอน ทำให้เกิดการประมวลผลผิดพลาดได้
2. เมื่อใช้งานที่กำลังสูงความถี่ที่สูงจะรบกวนการทำงานของวงจรตรวจจับสัญญาณ
3. ความละเอียดของอุปกรณ์ เนื่องจากไมโครโปรเซสเซอร์จะทำการประมวลผลข้อมูลครั้งละ 8 บิต ทำให้สัญญาณที่ผ่านวงจร คือทูเอและเอชดี มีการเปลี่ยนแปลงในช่วงความถี่ต่าง 256 ระดับสัญญาณ ทำให้ค่าที่ได้มีความละเอียดที่ไม่สูงพอในช่วงใช้งานที่กว้าง

แนวทางการหาคำ

ควรเพิ่มประสิทธิภาพของ วงจรตรวจจับสัญญาณให้มีสัญญาณรบกวนน้อยลง และใช้ระบบ การประมวลผลที่มีความละเอียดมากขึ้น นอกจากนี้ควรเพิ่มประสิทธิภาพของส่วนคอนเวอเตอร์และ ส่วนวงจรไหลที่นำกำลังที่ส่งขึ้นและมีการสูญเสียที่น้อยลง และควรปรับลดแรงดันของทุบที่เข้า หลอมด้วย



เอกสารนี้เป็นเอกสารที่สงวนไว้สำหรับการใช้งานเพื่อการศึกษาเท่านั้น ไม่อนุญาตให้นำไปใช้ประโยชน์ด้านการค้า ไม่ว่ากรณีใดๆทั้งสิ้น อีกทั้งห้ามมิให้ดัดแปลงเนื้อหา และต้องอ้างอิงถึงเจ้าของเอกสารทุกครั้งที่มีการนำไปใช้



เอกสารนี้เป็นเอกสารที่สงวนไว้สำหรับการใช้งานเพื่อการศึกษาเท่านั้น ไม่อนุญาตให้นำไปใช้ประโยชน์ด้านการค้า
ไม่ว่ากรณีใดๆทั้งสิ้น อีกทั้งห้ามมิให้ดัดแปลงเนื้อหา และต้องอ้างอิงถึงเจ้าของเอกสารทุกครั้งที่มีการนำไปใช้

ORIGIN 2000

PORT 20H - VCO O/P

PORT 21H - CURRENT I/P

PORT 22H - OPTION - LOWER I/P PC0,PC2

UPPER O/P PC7

| | | |
|----------------|----------|-------------------|
| 2000 | CD 93 20 | MAIN:CALL "HELLO" |
| 2003 | AF | XOR A |
| 2004 | 21 88 21 | LD HL,ADDR_CUR1 |
| 2007 | 7E | LD A,(HL) |
| 2008 | 23 | INC HL |
| 2009 | 77 | LD (HL),A |
| <hr/> | | |
| *CONTROL CODE* | | |
| 200A | AF | XOR A |
| 200B | 3E 83 | LD A,83H |
| 200D | D3 23 | OUT (23H),A |

OFF BUFFER

| | | |
|------|-------|-------------|
| 200F | AF | XOR A |
| 2010 | 3E 0E | LD A,0EH |
| 2012 | D3 23 | OUT (23H),A |

| | | |
|------|----------|-----------------|
| 2014 | AF | XOR A |
| 2015 | 21 8B 21 | LD HL,ADDR_VCO1 |

2018 7E ที่สงวนไว้สำหรับการใช้งาน (HL) เท่านั้น ไม่นุญาตให้นำไปใช้ประโยชน์ด้านการค้า
2019 23 อื่นๆอีกทั้งห้ามมิให้ดัดแปลงเนื้อหา และต้องอ้างอิงถึงเจ้าของเอกสารทุกครั้งที่มีการนำไปใช้

```

201A      77          LD (HL),A
201B     D3 20      OUT (20H),A
-----
201D     AF          EYE1:XOR A
201E     DB 22      IN A,(22H)
2020     CB 57      BIT 2,A
2022     CA A7 20   JP Z, "WAIT1"
-----

```

```

                                     *ON BUFFER*
2025     AF          XOR A
2026     3E 0F      LD A,0FH
2028     D3 23      OUT (23H),A
-----
                                     *DISPLAY START*
202A     CD BD 20   CALL "WORK"
202D     CD D1 20   LOOP:CALL "DISPLAY_VCO"
2030     AF          EYE2:XOR A
2031     DB 22      IN A,(22H)
2033     CB 47      BIT 0,A
2035     CC ED 20   CALL Z, "KEY"
2038     CB 57      BIT 2,A
203A     CA 07 21   JP Z, "WAIT2"
-----

```

```

203D     AF          XOR A
203E     3E 0F      LD A,0FH
2040     D3 23      OUT (23H),A

```

เอกสารนี้เป็นเอกสารที่สงวนไว้สำหรับการใช้งานเพื่อการศึกษาเท่านั้น ไม่อนุญาตให้ทำไปโดยประโยชน์ด้านการค้า
 2042 AF XOR A

```

2043      DB 21              IN A, (21H)
2045      21 8A 21          LD HL, ADDR_CUR3
2048      77                LD (HL), A
2049      2B                DEC HL
204A      46                LD B, (HL)
204B      B8                CP B
204C      D2 2A 21          JP NC, "OVER"

```

```

204F      AF                XOR A
2050      21 8C 21          LD HL, ADDR_VCO2
2053      7E                LD A, (HL)
2054      0E 00             LD C, 00H
2056      B1                OR C
2057      CA 42 21          JP Z, "SEND_OOH"
205A      0E FF             LD C, FFH
205C      A9                XOR C
205D      CA 49 21          JP Z, "SEND_FFH"

```

```

2060      AF                XOR A
2061      7E                LD A, (HL)
2062      3D                DEC A
2063      D3 20             OUT (20H), A

```

```

2065      CD 51 21          CALL "DELAY"
2068      AF                XOR A
2069      DB 21              IN A, (21H)
206B      21 8A 21          LD HL, ADDR_CUR3

```

206E เป็นเอกสาร 56 ที่สงวนไว้สำหรับการใช้งานที่ LD D, (HL) นั้น ไม่นุญาตให้นำไปใช้ประโยชน์ด้านการค้า
 ไม่ว่าจะกรณีใดๆทั้งสิ้น อีกทั้งห้ามมิให้ดัดแปลงเนื้อหา และต้องอ้างอิงถึงเจ้าของเอกสารทุกครั้งที่มีการนำไปใช้

```

206F    BA                CP D
2070    D2 5B 21        JP NC, "DEC_FREQ"
-----

2073    AF                XOR A
2074    21 8C 21        LD HL,ADDR_VCO2
2077    7E                LD A,(HL)
2078    3C                INC A
2079    D3 20            OUT (20H),A
-----

207B    CD 51 21        CALL "DELAY"
-----

207E    AF                XOR A
207F    DB 21            IN A,(21H)
2081    21 8A 21        LD HL,ADDR_CUR3
2084    56                LD D,(HL)
2085    BA                CP D
2086    D2 65 21        JP NC, "INC_FREQ"
-----

2089    AF                XOR A
208A    21 8C 21        LD HL,ADDR_VCO2
208D    7E                LD A,(HL)
208E    D3 20            OUT (20H),A
2090    C3 2D 20        JP "LOOP"
-----

```

```

2093    AF                HELLO:XOR A
2094    3E 03            LD A,03H
2096    D7                RST 10H
2097    21 70 21        LD HL,DATA_HELLO

```

เอกสารนี้เป็นเอกสารที่สงวนไว้สำหรับการใช้งานเพื่อการศึกษาเท่านั้น ไม่อนุญาตให้นำไปใช้ประโยชน์ด้านการค้า
ไม่ว่ากรณีใดๆทั้งสิ้น อีกทั้งห้ามมิให้ดัดแปลงเนื้อหา และต้องอ้างอิงถึงเจ้าของเอกสารทุกครั้งที่มีการนำไปใช้

| | | |
|------|----------|-------------|
| 209A | 11 E7 3F | LD DE,3FE7H |
| 209D | 06 06 | LD B,06H |
| 209F | ED B0 | LDIR |
| 20A1 | 3E 04 | LD A,04H |
| 20A3 | 06 FF | LD B,FFH |
| 20A5 | D7 | RST 10H |
| 20A6 | C9 | RET |

| | | |
|------|----------|-----------------|
| 20A7 | AF | WAIT1:XOR A |
| 20A8 | 3E 03 | LD A,03H |
| 20AA | D7 | RST 10H |
| 20AB | 21 76 21 | LD HL,DATA_WAIT |
| 20AE | 11 E7 3F | LD DE,3FE7H |
| 20B1 | 06 06 | LD B,06H |
| 20B3 | ED B0 | LDIR |
| 20B5 | 3E 04 | LD A,04H |
| 20B7 | 06 FF | LD B,FFH |
| 20B9 | D7 | RST 10H |
| 20BA | C3 1D 20 | JP "EYE1" |

| | | |
|------|----------|------------------|
| 20BD | AF | XOR A |
| 20BE | 3E 03 | LD A,03H |
| 20C0 | D7 | RST 10H |
| 20C1 | 21 7C 21 | LD HL,DATA_START |
| 20C4 | 11 E7 3F | LD DE,3FE7H |
| 20C7 | 06 06 | LD B,06H |
| 20C9 | ED B0 | LDIR |
| 20CB | 3E 04 | LD A,04H |

เอกสารนี้เป็นเอกสารที่สงวนไว้สำหรับการใช้งานเพื่อการศึกษาเท่านั้น ไม่อนุญาตให้นำไปใช้ประโยชน์ด้านการค้า
ไม่ว่ากรณีใดๆทั้งสิ้น อีกทั้งห้ามมิให้ดัดแปลงเนื้อหา และต้องอ้างอิงถึงเจ้าของเอกสารทุกครั้งที่มีการนำไปใช้

```

20CD    06 FF          LD B,FFH
20CF    D7            RST 10H
20D0    C9            RET

```

```

20D1    F5            DISPLAY_VCO:PUSH AF
20D2    C5            PUSH BC
20D3    D5            PUSH DE
20D4    E5            PUSH HL
20D5    AF            XOR A
20D6    3E 03         LD A,03H
20D8    D7            RST 10H
20D9    21 8C 21       LD HL,ADDR_VCO2
20DC    7E            LD A,(HL)
20DD    32 F1 3F       LD (3FF1H),A
20E0    3E 07         LD A,07H
20E2    D7            RST 10H
20E3    3E 04         LD A,04H
20E5    06 FF          LD B,FFH
20E7    D7            RST 10H
20E8    E1            POP HL
20E9    D1            POP DE
20EA    C1            POP BC
20EB    F1            POP AF
20EC    C9            RET

```

```

20ED    F5            KEY:PUSH AF
20EE    C5            PUSH BC

```

20EF เป็นเอกสารที่สงวนไว้สำหรับการใช้งานเพื่อธุรกิจเท่านั้น ไม่อนุญาตให้นำไปใช้ประโยชน์ด้านการค้า
ไม่ว่ากรณีใดๆทั้งสิ้น อีกทั้งห้ามมิให้ดัดแปลงเนื้อหา และต้องอ้างอิงถึงเจ้าของเอกสารทุกครั้งที่มีการนำไปใช้

| | | |
|-------|-------------|-----------------|
| 20F0 | E5 | PUSH HL |
| 20F1 | AF | XOR A |
| 20F2 | DD 21 89 21 | LD IX,ADDR_CUR2 |
| 20F6 | 06 04 | LD B,04H |
| 20F8 | 3E 08 | LD A,08H |
| 20FA | D7 | RST 10H |
| 20FB | 21 89 21 | LD HL,ADDR_CUR2 |
| 20FE | DD 7E 00 | LD A,(IX+00H) |
| 2101 | 7E | LD A,(HL) |
| 2102 | E1 | POP HL |
| 2103 | D1 | POP DE |
| 2104 | C1 | POP BC |
| 2105 | F1 | POP AF |
| 2106 | C9 | RET |
| <hr/> | | |
| 2107 | F5 | WAIT2:PUSH AF |
| 2108 | C5 | PUSH BC |
| 2109 | D5 | PUSH DE |
| 210A | E5 | PUSH HL |
| 210B | AF | XOR A |
| 210C | 3E 0E | LD A,0EH |
| 210E | D3 23 | OUT (23H),A |
| 2110 | AF | XOR A |
| 2111 | 3E 03 | LD A,03H |
| 2113 | D7 | RST 10H |
| 2114 | 21 76 21 | LD HL,DATA_WAIT |
| 2117 | 11 E7 3F | LD DE,3FE7H |

211A 06 06 LD B,06H

เอกสารนี้เป็นเอกสารที่สงวนไว้สำหรับการใช้งานเพื่อการศึกษาเท่านั้น ไม่อนุญาตให้นำไปใช้ประโยชน์ด้านการค้า
ไม่ว่ากรณีใดๆทั้งสิ้น อีกทั้งห้ามมิให้ดัดแปลงเนื้อหา และต้องอ้างอิงถึงเจ้าของเอกสารทุกครั้งที่มีการนำไปใช้

| | | |
|------|----------|-----------|
| 211C | ED B0 | LDIR |
| 211E | 3E 04 | LD A,04H |
| 2120 | 06 FF | LD B,FFH |
| 2122 | D7 | RST 10H |
| 2123 | E1 | POP HL |
| 2124 | D1 | POP DE |
| 2125 | C1 | POP BC |
| 2126 | F1 | POP AF |
| 2127 | C3 30 20 | JP "EYE2" |

| | | |
|------|----------|-----------------|
| 212A | 3E 04 | OVER:LD A,03H |
| 212C | D7 | RST 10H |
| 212D | 21 82 21 | LD HL,DATA_OVER |
| 2130 | 11 E7 3F | LD DE,3FE7H |
| 2133 | 06 06 | LD B,06H |
| 2135 | ED B0 | LDIR |
| 2137 | 3E 04 | LD A,04H |
| 2139 | 06 FF | LD B,FFH |
| 213B | D7 | RST 10H |
| 213C | 3E 0E | LD A,0EH |
| 213E | D3 23 | OUT (23H),A |
| 2140 | 18 E8 | JR "OVER" |

| | | |
|------|----------|----------------|
| 2142 | AF | SEND_00H:XOR A |
| 2143 | 77 | LD (HL),A |
| 2144 | D3 20 | OUT (20H),A |
| 2146 | C3 2D 20 | JP "LOOP" |

| | | |
|------|-------|-------------------|
| 2149 | 3E FE | SEND_FFH:LD A,FEH |
|------|-------|-------------------|

เอกสารนี้เป็นเอกสารที่สงวนไว้สำหรับการใช้งานเพื่อการศึกษาเท่านั้น เมื่อนุญาตให้นำไปใช้ประโยชน์ด้านการค้า
ไม่ว่ากรณีใดๆทั้งสิ้น อีกทั้งห้ามมิให้ดัดแปลงเนื้อหา และต้องอ้างอิงถึงเจ้าของเอกสารทุกครั้งที่มีการนำไปใช้

```

214B      77          LD (HL),A
214C      D3 20      OUT (20H),A
214E      C3 2D 20   JP "LOOP"

```

```

2151      F5          DELAY:PUSH AF
2152      C5          PUSH BC
2153      06 02      LD B,02H
2155      3E 2F      LD A,2FH
2157      D7          RST 10H
2158      C1          POP BC
2159      F1          POP AF
215A      C9          RET

```

```

215B      21 8C 21   DEC_FREQ:LD HL,ADDR_VCO2
215E      35          DEC HL
215F      7E          LD A,(HL)
2160      D3 20      OUT (20H),A
2162      C3 2D 20   JP "LOOP"

```

```

2165      AF          INC_FREQ:XOR A
2166      21 8C 21   LD HL,ADDR_VCO2
2169      34          INC (HL)
216A      7E          LD A,(HL)
216B      D3 20      OUT (20H),A
216D      D3 2D 20   JP "LOOP"

```

```

2170      00767938383F :DATA_HELLO

```

```

2176      00003E770478 :DATA_WAIT

```

เอกสารนี้เป็นเอกสารที่สงวนเวลาให้บริการใช้งานเพื่อการศึกษาเท่านั้น ไม่อนุญาตให้นำไปใช้ประโยชน์ด้านการค้า
ไม่ว่ากรณีใดๆทั้งสิ้น อีกทั้งห้ามมิให้ดัดแปลงเนื้อหา และต้องอ้างอิงถึงเจ้าของเอกสารทุกครั้งที่มีการนำไปใช้

217C 006D78775078 :DATA_START

2182 00003F3E7950 :DATA_OVER

2188 FF :ADDR_CUR1

2189 FF :ADDR_CUR2

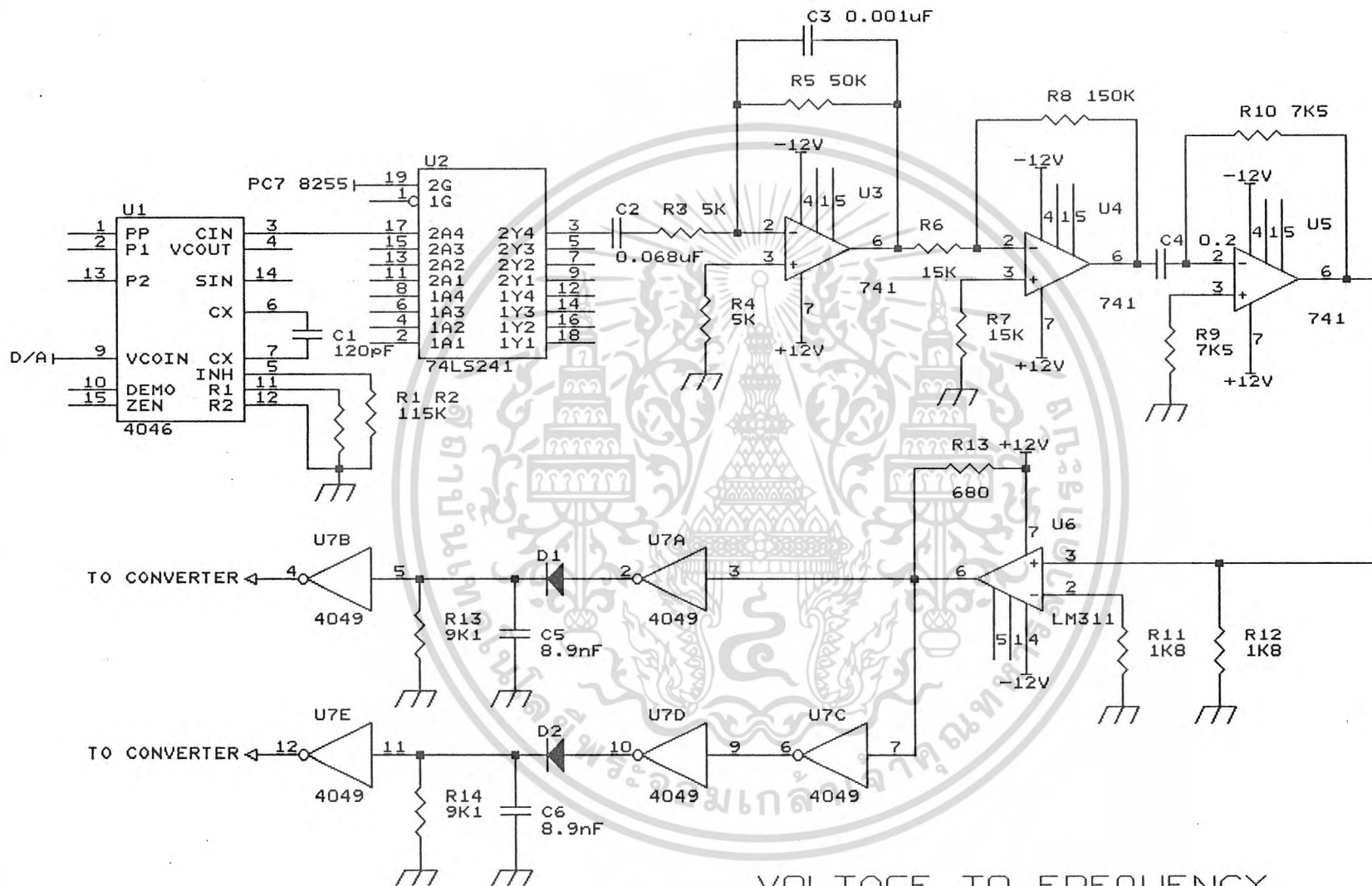
218A 00 :ADDR_CUR3

218B C0 :ADDR_VCO1

218C 00 :ADDR_VCO2

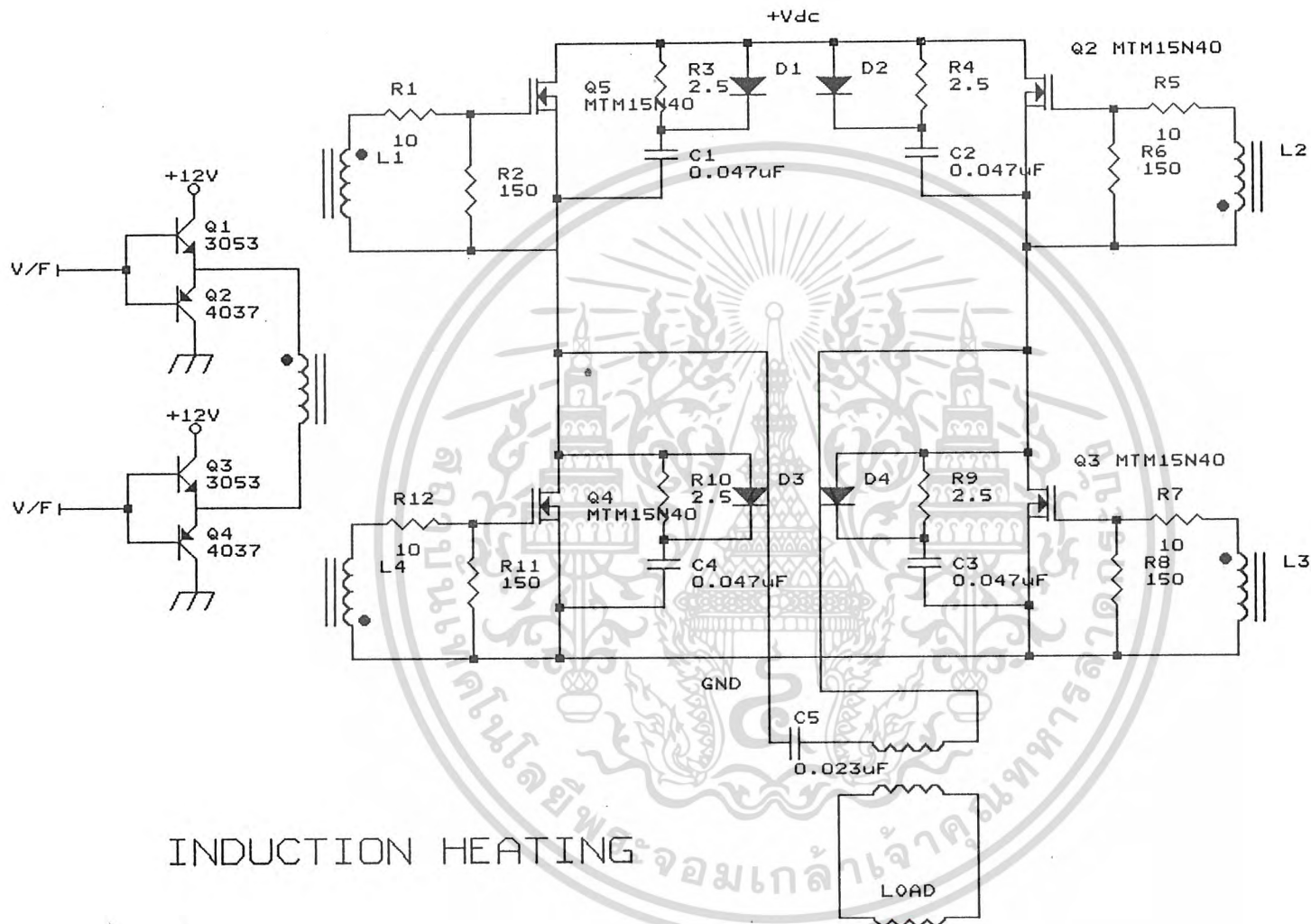


เอกสารนี้เป็นเอกสารที่สงวนไว้สำหรับการใช้งานเพื่อการศึกษาเท่านั้น ไม่อนุญาตให้นำไปใช้ประโยชน์ด้านการค้า
ไม่ว่ากรณีใดๆทั้งสิ้น อีกทั้งห้ามมิให้ดัดแปลงเนื้อหา และต้องอ้างอิงถึงเจ้าของเอกสารทุกครั้งที่มีการนำไปใช้



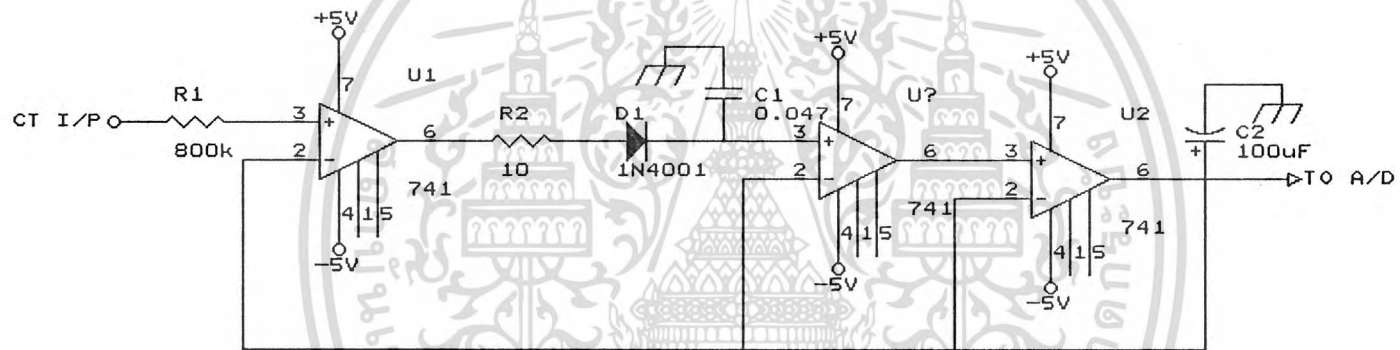
VOLTAGE TO FREQUENCY

| | | |
|-------|-----------------|----------|
| Size | Document Number | REV |
| A | | |
| Date: | March 9, 1994 | Sheet of |



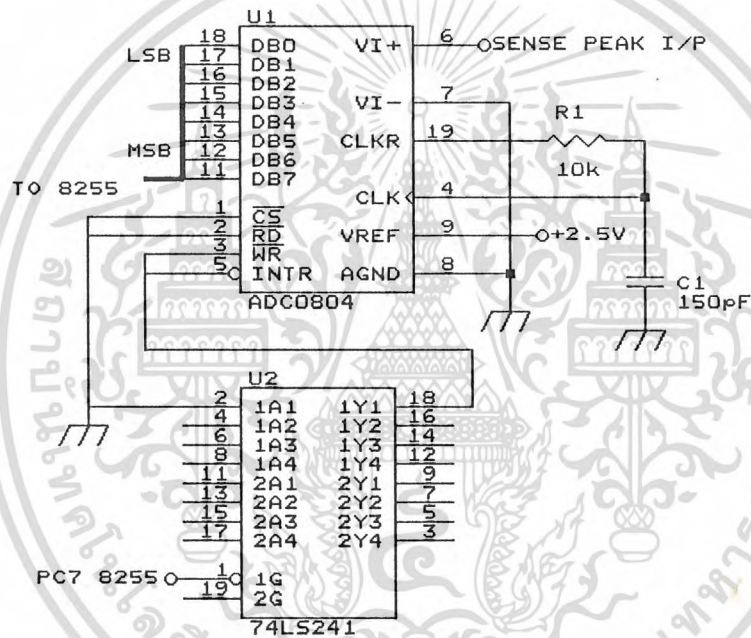
CURRENT TRANSFORMER

| | | |
|-------|-----------------|----------|
| Size | Document Number | REV |
| A | | |
| Date: | March 11, 1994 | Sheet of |



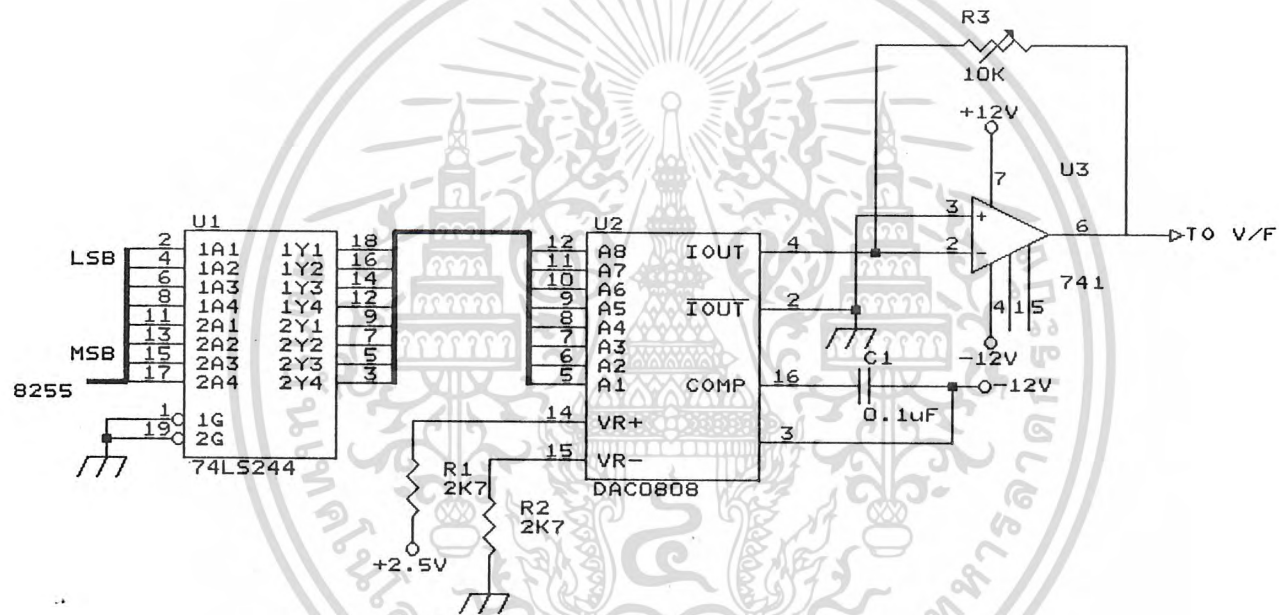
SENSE PEAK

| | | |
|-------|-----------------|----------|
| Size | Document Number | REV |
| A | | |
| Date: | March 9, 1994 | Sheet of |



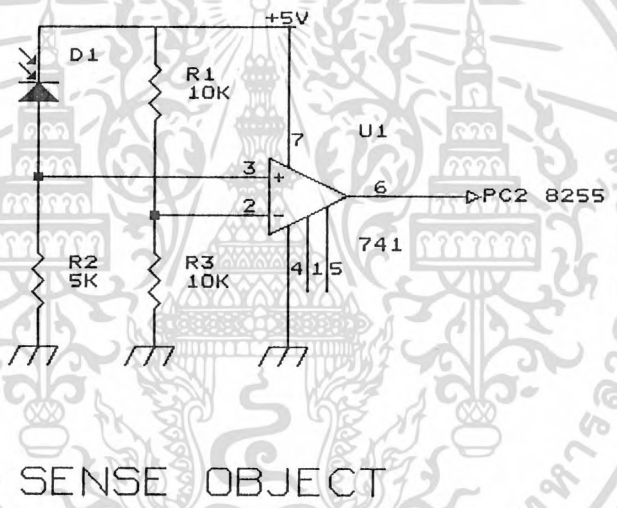
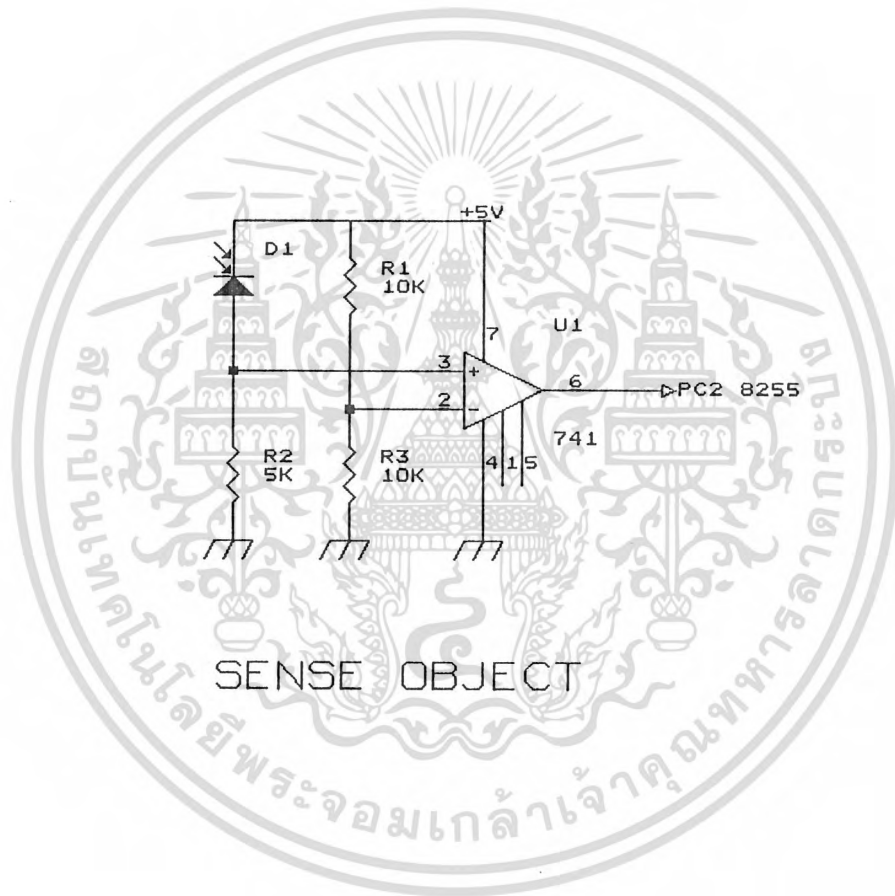
ANALOG TO DIGITAL CONVERTER

| | | |
|-------|-----------------|----------|
| Size | Document Number | REV |
| A | | |
| Date: | March 9, 1994 | Sheet of |



DIGITAL TO ANALOG CONVERTER

| | | |
|-----------|-----------------|----------|
| Size A | Document Number | REV |
| Date: | March 9, 1994 | Sheet of |



| | | |
|-------|-----------------|----------|
| Size | Document Number | REV |
| A | | |
| Date: | March 9, 1994 | Sheet of |

เอกสารอ้างอิง

1. GEORGE CHRYSSIS "HIGH - FREQUENCY SWITCHING POWER SUPPLIES"
McGraw-Hill, INC, 1984
2. JOHN DAVIES, PETER SIMPSON "INDUCTION HEATING HANDBOOK"
McGraw-Hill, INC, 1979
3. MOTOROLA TMOS POWER MOSFET DATA
4. WILLIAM MCMERRAY, "SELECTION OF SNUBBERS AND CLAMPS TO
OPTIMIZE THE DESIGN OF TRANSISTOR SWITCHING CONVERTERS"
IEEE TRANSACTIONS
5. NATIONAL SEMICONDUCTOR , "LINEAR APPLICATION"

เอกสารนี้เป็นเอกสารที่สงวนไว้สำหรับการใช้งานเพื่อการศึกษาเท่านั้น ไม่อนุญาตให้นำไปใช้ประโยชน์ด้านการค้า
ไม่ว่ากรณีใดๆทั้งสิ้น อีกทั้งห้ามมิให้ดัดแปลงเนื้อหา และต้องอ้างอิงถึงเจ้าของเอกสารทุกครั้งที่มีการนำไปใช้

กิตติกรรมประกาศ

ผู้เขียนขอขอบคุณ คณะวิศวกรรมศาสตร์ที่ได้ให้ความรู้ ขอบคุนพี่ๆ เพื่อนๆ น้องๆ ที่คอยให้คำแนะนำและกำลังใจ และขอขอบคุณ อาจารย์ สมศักดิ์ เข็ยร์ศิริกุล อาจารย์ที่ปรึกษา ที่ให้ความช่วยเหลือคำแนะนำตลอดมา



เอกสารนี้เป็นเอกสารที่สงวนไว้สำหรับการใช้งานเพื่อการศึกษาเท่านั้น ไม่อนุญาตให้นำไปใช้ประโยชน์ด้านการค้า
ไม่ว่ากรณีใดๆทั้งสิ้น อีกทั้งห้ามมิให้ดัดแปลงเนื้อหา และต้องอ้างอิงถึงเจ้าของเอกสารทุกครั้งที่มีการนำไปใช้